



<https://gep.ui.ac.ir/?lang=en>

Geography and Environmental Planning

E-ISSN: 2252- 0910

Document Type: Research Paper

Vol. 33, Issue 2, No.86, Summer 2022, pp. 1- 4

Received: 02/09/2021 Accepted: 22/01/2022

Evaluation of the Resilience of District 20 of Tehran Metropolitan Region (TMR) against Environmental Hazards Using Fuzzy Functions in GIS Software

Vafa Ghaem Maghami¹, Ahmad Nohegar^{2*}, Mohammad Javad Amiri³

1- Ph.D. Student in Environmental Management, Department of Environmental Management Planning and Education, Faculty of Environment, University of Tehran, Tehran, Iran
va.qaem@gmail.com

2- Professor of Geomorphology, Department of Management Planning and Environmental Education, Faculty of Environment, University of Tehran, Tehran, Iran
nohegar@ut.ac.ir

3- Assistant Professor of Environment, Department of Environmental Management Planning and Education, Faculty of Environment, University of Tehran, Tehran, Iran
mjamiri@ut.ac.ir

Extended abstract

Introduction:

The idea of resilience of different social, economic, physical, and managerial orientations has entered urban and regional studies on a large scale. This resilient system can absorb temporary or permanent crises and adapt to rapidly changing conditions without losing its function. Among these, resilience against natural disasters can be explained by how social, economic, institutional, political, and executive capacities of societies affect the increase of resilience and understanding of its dimensions in the society. Environmental crises, such as earthquakes, floods, fires, and climate pollution, have caused environmental vulnerability in cities and consequently created threats to their securities, especially in District 20 of Tehran City. By recognizing the dimensions of vulnerability in District 20 of this city against environmental crises, management strategies can be developed to reduce vulnerability and risks and enhance resilience. For this reason, the main purpose of this study was to evaluate resilience of the neighborhoods in District 20 of Tehran City against environmental crises. To achieve this goal, the Fuzzy Multi-Criteria Decision Model (FMCDM) and K-mean method of classification were used.

Methodology:

To identify and assess the resilience of District 20 of Tehran against environmental crises, a database was created based on the crises and its spatial information was prepared in 4 criteria and 26 sub-criteria. After creating the spatial database of the mentioned district and compiling the criteria and sub-criteria, a layer of information was prepared in ArcGIS software and a distance map was drawn

*Corresponding Author

ghaem maghami, V., nohegar, A., amiri, M. (2022). Evaluation of Resilience of Tehran Metropolitan District 20 Against Environmental Hazards Using Fuzzy Functions in GIS. *Geography and Environmental Planning*, 33 (2), 1 -4.

2252- 0910/ © 2022 The Authors. Published by University of Isfahan

This is an open access article under the CC-BY-NC-ND 4.0 License (<https://creativecommons.org/licenses/by-nc-nd/4.0/>)



<http://dx.doi.org/10.22108/gep.2022.130271.1453>



[20.1001.1.20085362.1401.33.2.4.4](https://doi.org/10.22108/gep.2022.130271.1453)



for each sub-criterion through Euclidean distance mapping in order to measure and manage the resilience. Then, fuzzy operators were applied to draw each fuzzy map (subscale) with a value between 0 and 1. Analytic Network Process (ANP) method was utilized to weight and evaluate the research criteria and sub-criteria. Next, the map of each criterion and sub-criterion was drawn by combining the Euclidean distance and fuzzy operators multiplied by their fuzzy weights obtained from the ANP model in ArcGIS software. Thus, the final map was prepared for each criterion and sub-criterion, which showed their values of resilience to the environmental crises. Then, fuzzy superimposing operators were applied to superimpose the fuzzy weighting maps and a superimposed map of 26 sub-criteria (4 criteria) was obtained for each fuzzy operator. To identify the best fuzzy operator by superimposing the research sub-criteria, analysis of spatial relationships between the independent variables and the dependent variable was done through the Ordinary Least Squares (OLS) regression. Finally, the classical K-mean clustering method was employed to classify the neighborhoods from the perspective of resilience to environmental crises.

Discussion:

The results showed that the weights and values of the socio-economic criteria, road infrastructure, land use and accessibility in resilience measures were 0.49, 0.23, 0.16, and 0.11, respectively. In the socio-economic, road infrastructure, land use, and accessibility criteria, the sub-criteria of house strength, pedestrian bridge, access to social places, and access to medical centers with the weights of 0.33, 0.43, 0.32, and 0.29 had the highest values in resilience. Among the fuzzy superposition operators, the algebraic addition operator (SUM) had the highest correlation with the research criteria in identifying the resilience of the neighborhoods. The northeast and southeast neighborhoods, as well as the central neighborhoods of District 20 of Tehran, were the most resilient neighborhoods to environmental crises. In the final step of the current research, the classical K-mean method was used to cluster the existing neighborhoods in District 20 of Tehran City based on their resilience to environmental crises. The results revealed that the neighborhoods were divided into 3 clusters. In the first cluster showing a lot of patience, the neighborhoods of Javanmard Qassab, Mansouria and Mangal, Hamzehabad, Sartakht, Ibn Babavieh and Zahirabad, Taghiabad, and Abbasabad were located. In the second cluster indicating moderate tolerance, Dolatabad and Shahadat, Sadeghieh, Shahid Ghayuri, Deilman, Aqdasiyeh, Estakhr, and Alain neighborhoods were situated. Finally, the neighborhoods of Sizdeh Aban, Shahid Beheshti, Firoozabadi, Valiabad, and Hashemabad were located in the third cluster with poor productivity.

Conclusion:

Environmental crises, such as earthquake, flood, drought, air and water pollution, and fire, have the potential to become harmful in areas where there are no crisis management and risk mitigation. In the 21st century, the world has been hit by such environmental crises as Asian tsunamis, Hurricanes Katrina and Rita, successive earthquakes, flash floods, desert dust storms, and widespread fires. Although predictive tools are able to predict some disasters, future crises cannot be forecast based on empirical evidence. Therefore, increasing the ability of a system called resilience is very important for responding to such crises; yet, its resilience must first be measured. In the present study, the resilience of District 20 of Tehran City to environmental crises was evaluated based on socio-economic, road infrastructure, land use, and accessibility criteria. The results of this modeling led to the extraction of 3 clusters for the resilience of the neighborhoods of District 20 of Tehran against environmental crises. The neighborhoods in the west region had the highest resilience compared to the urban areas.

Keywords: resilience, home strength, Analytic Network Process (ANP), fuzzy operator, regression

References

- Asadzadeh, A., Kötter, T., & Zebardast, E. (2015). An augmented approach for measurement of disaster resilience using connective factor analysis and analytic network process (F'ANP) model. *International Journal of Disaster Risk Reduction*, 14, 504-518.

- Bacud, S. T. (2018). Integration of Indigenous and Scientific Knowledge in Disaster Risk Reduction: Resilience Building of a Marginalized Sampaguita Growing Community in the Philippines. *Procedia engineering*, 212, 511-518.
- Borsekova, K., Nijkamp, P., & Guevara, P. (2018). Urban resilience patterns after an external shock: An exploratory study. *International journal of disaster risk reduction*, 31, 381-392.
- Caschili, S., Reggiani, A., & Medda, F. (2015). Resilience and vulnerability of spatial economic networks. *Networks and Spatial Economics*, 15(2), 205-210.
- Chen, C., Xu, L., Zhao, D., Xu, T., & Lei, P. (2020). A new model for describing the urban resilience considering adaptability, resistance and recovery. *Safety science*, 128, 104756.
- Cutter, S. L., Barnes, L., Berry, M., Burton, C., Evans, E., Tate, E., & Webb, J. (2008). A place-based model for understanding community resilience to natural disasters. *Global environmental change*, 18(4), 598-606.
- Davis, I., & Izadkhah, Y. O. (2006). Building resilient urban communities. *Open House International*, 31(1), 11-21.
- Fakhruddin, B. S., Reinen-Hamill, R., & Robertson, R. (2019). Extent and evaluation of vulnerability for disaster risk reduction of urban Nuku'alofa, Tonga. *Progress in Disaster Science*, 2, 100017.
- Govindarajulu, D. (2020). Strengthening institutional and financial mechanisms for building urban resilience in India. *International Journal of Disaster Risk Reduction*, 101549.
- Harpin, S. B. (2019). Adverse childhood experiences and resilience: implications for marginalized and vulnerable young people. *Journal of Adolescent Health*, 64(1), 3-4.
- Kabir, M. H., Sato, M., Habbiba, U., & Yousuf, T. B. (2018). Assessment of Urban Disaster Resilience in Dhaka North City Corporation (DNCC), Bangladesh. *Procedia engineering*, 212, 1107-1114.
- Landry, F., Dupras, J., & Messier, C. (2020). Convergence of urban forest and socio-economic indicators of resilience: A study of environmental inequality in four major cities in eastern Canada. *Landscape and Urban Planning*, 202, 103856.
- Moghadas, M., Asadzadeh, A., Vafeidis, A., Fekete, A., & Kötter, T. (2019). A multi-criteria approach for assessing urban flood resilience in Tehran, Iran. *International journal of disaster risk reduction*, 35, 101069.
- Mullick, M. R. A., Tanim, A. H., & Islam, S. S. (2019). Coastal vulnerability analysis of Bangladesh coast using fuzzy logic based geospatial techniques. *Ocean & Coastal Management*, 174, 154-169.
- Ran, J., MacGillivray, B. H., Gong, Y., & Hales, T. C. (2019). The application of frameworks for measuring social vulnerability and resilience to geophysical hazards within developing countries: A systematic review and narrative synthesis. *Science of the total environment*, 134486.
- Suárez, M., Gómez-Baggethun, E., Benayas, J., & Tilbury, D. (2016). Towards an urban resilience Index: a case study in 50 Spanish cities. *Sustainability*, 8(8), 774.
- Wills, G., & Hofmeyr, H. (2019). Academic resilience in challenging contexts: Evidence from township and rural primary schools in South Africa. *International Journal of Educational Research*, 98, 192-205.
- Zhang, W., Su, S., Wang, B., Hong, Q., & Sun, L. (2020). Local k-NNs pattern in Omni-Direction graph convolution neural network for 3D point clouds. *Neurocomputing*, 413, 487-498.
- Zhang, X., Song, J., Peng, J., & Wu, J. (2019). Landslides-oriented urban disaster resilience assessment—a case study in ShenZhen, China. *Science of the Total Environment*, 661, 95-106.
- **Fig 1.** Geographical location of District 20 Tehran
- **Table 1-** Fuzzy membership of sub-criteria in resilience of District 20 of Tehran against environmental hazards
- **Fig 2.** Diagram of the steps of the work method in the present study
- **Table 1-** The weight of research criteria in resilience of District 20 of Tehran against environmental hazards
- **Tab 3-** Weight of criteria socio-economic in the resilience of Tehran's 20th district
- Figure 3-** Zoning of population and young population sub-criteria in the resilience of District 20 of Tehran

- **Figure 4-** Zoning of Economic participation and employment rates sub-criteria in the resilience of District 20 of Tehran
- **Figure 5-** Zoning of Home strength and literacy rates sub-criteria in the resilience of District 20 of Tehran
- **Tab 4-** Weight of criteria and sub-criteria of land cover in the resilience of Tehran's 20th district
- **Figure 6-** Zoning of Access to parks and social sites sub-criteria in the resilience of District 20 of Tehran
- **Figure 7-** Zoning of Distance from the flood and access to water sources sub-criteria in the resilience of District 20 of Tehran
- **Figure 8-** Zoning of Distance from agricultural lands and urban green space sub-criteria in the resilience of District 20 of Tehran
- **Figure 9-** Zoning of Distance from the green belt and outdoor rates sub-criteria in the resilience of District 20 of Tehran
- **Tab 5-** Standard weight and sub-criteria of accesses in Tehran 20 district resilience
- **Figure 10-** Zoning of Access to fuel station and security police sub-criteria in the resilience of District 20 of Tehran
- **Figure 11-** Zoning of Access to educational and administrative centers sub-criteria in the resilience of District 20 of Tehran
- **Figure 12-** Zoning of Access to Commercial and service centers sub-criteria in the resilience of District 20 of Tehran
- **Figure 13-** Zoning of Access to Medical centers and distance from the factory sub-criteria in the resilience of District 20 of Tehran
- **Tab 6-** Standard weight and sub-criteria of road infrastructure in Tehran 20 district
- **Figure 14-** Zoning of Access to bus and freeway stations sub-criteria in the resilience of District 20 of Tehran
- **Figure 15-** Zoning of Access to the pedestrian bridge and railway station sub-criteria in the resilience of District 20 of Tehran
- **Figure 16-** Zoning of Criteria for access to urban services and socio-economic criteria in the resilience of District 20 of Tehran
- **Figure 17-** Zoning of Land use criteria and access to road infrastructure criteria in the resilience of District 20 of Tehran
- **Tab 7.** Correlation coefficient between fuzzy overlay operators with research criteria
- **Fig 18.** Overlapping of research criteria with SUM operator and resilience modeling of Tehran Region 20



جغرافیا و برنامه‌ریزی محیطی

سال ۳۳، پیاپی ۸۶، شماره ۲، تابستان ۱۴۰۱، ص ۱۲۶-۹۹

وصول: ۱۴۰۰/۶/۱۱ پذیرش: ۱۴۰۰/۱۱/۲

مقاله پژوهشی

ارزیابی تاب‌آوری منطقه ۲۰ کلان‌شهر تهران در برابر مخاطرات محیطی با استفاده از توابع فازی در سیستم اطلاعات جغرافیایی

وفا قائم‌مقامی، دانشجوی دکتری محیط‌زیست، گروه برنامه‌ریزی مدیریت و آموزش محیط‌زیست، دانشکده محیط‌زیست، دانشگاه تهران، تهران، ایران

va.qaem@gmail.com

احمد نوحه‌گر*، استاد ژئومورفولوژی، گروه برنامه‌ریزی مدیریت و آموزش محیط‌زیست، دانشکده محیط‌زیست، دانشگاه تهران، تهران، ایران

nohegar@ut.ac.ir

محمدجواد امیری، استادیار محیط‌زیست، گروه برنامه‌ریزی مدیریت و آموزش محیط‌زیست، دانشکده محیط‌زیست، دانشگاه تهران، تهران، ایران

mjamiri@ut.ac.ir

چکیده

منطقه ۲۰ در جنوب کلان‌شهر تهران با مخاطرات محیطی همچون سیلاب، زمین‌لرزه، بحران آب، آلودگی و طوفان مواجه است. افزایش تاب‌آوری در برابر این مخاطرات مستلزم شناخت ظرفیت تاب‌آوری است؛ از این رو پژوهش حاضر با رویکرد توصیفی پیمایشی برای شناخت ظرفیت پایه‌ای تاب‌آوری این منطقه در برابر مخاطرات محیطی انجام شد. نخست پرسش‌نامه‌ای با نظر کارشناسان برای استخراج مؤلفه‌های اثرگذار بر تاب‌آوری تهیه شد که بر مبنای آن، ۲۶ زیرمعیار در قالب چهار معیار اجتماعی-اقتصادی، کاربری اراضی، دسترسی‌ها و زیرساخت‌های جاده‌ای به دست آمد. درجه اهمیت هر زیرمعیار در تاب‌آوری با تحلیل شبکه و میزان عضویت آنها در تاب‌آوری با عملگرهای فازی مشخص شد؛ سپس زیرمعیارها با عملگرهای فازی $Product$ ، SUM ، OR ، AND و گاما روی هم گذاری و طبقه‌بندی محله‌ها در تاب‌آوری با خوشه‌بندی k -mean انجام شد. نتایج نشان داد معیارهای اقتصادی-اجتماعی و معیار زیرساخت‌ها با وزن $0/49$ و $0/331$ بیشترین اهمیت را در تاب‌آوری دارند. در معیار اقتصادی-اجتماعی زیرمعیار استحکام منازل با وزن $0/332$ ، در معیار پوشش اراضی زیرمعیار دسترسی به اماکن اجتماعی با وزن $0/321$ ، در معیار دسترسی‌ها زیرمعیار مراکز بهداشتی-درمانی با وزن $0/292$ و در معیار زیرساخت‌های جاده‌ای زیرمعیار دسترسی به پل عابر پیاده با وزن $0/435$ ، بیشترین وزن را در تاب‌آوری دارند. بهترین عملگر برای روی هم گذاری لایه‌ها، عملگر SUM بود که بیشترین همبستگی را با معیارها دارد. در نهایت محله‌های منطقه ۲۰ به سه خوشه تاب‌آوری زیاد، متوسط و ضعیف تقسیم شدند. از این بین، محله‌های جوانمرد، منصوریه، حمزه‌آباد، ابن‌بابویه، سرتخت، تقی‌آباد و عباس‌آباد به دلیل داشتن جمعیت مناسب، میزان مشارکت اقتصادی مطلوب، میزان مشارکت اجتماعی مطلوب، دوری از مسیل، دسترسی به زیرساخت‌های جاده‌ای و نزدیکی به مراکز خدمات‌رسانی، بیشترین تاب‌آوری را در برابر مخاطرات محیطی دارند؛ اما محله‌های جنوبی و غربی در منطقه ۲۰، به دلیل دوری از مراکز خدمات‌رسانی و پل‌های عابر پیاده، نزدیکی به مسیل و کارخانه، کم‌بودن میزان مشارکت اقتصادی، و استحکام کم منازل، کمترین تاب‌آوری را در برابر مخاطرات محیطی دارند.

واژه‌های کلیدی: تاب‌آوری، استحکام منازل، تحلیل شبکه، عملگرهای فازی، رگرسیون

*نویسنده مسئول

قائم‌مقامی، وفا، نوحه‌گر، احمد، امیری، محمدجواد. (۱۴۰۰). ارزیابی تاب‌آوری منطقه ۲۰ کلان‌شهر تهران در برابر مخاطرات محیطی با استفاده از توابع فازی در سیستم اطلاعات جغرافیایی *مجله جغرافیا و برنامه‌ریزی محیطی*، ۳۳ (۲)، ۹۹-۱۲۶.

2252- 0910/ © 2022 The Authors. Published by University of Isfahan

This is an open access article under the CC-BY-NC-ND 4.0 License (<https://creativecommons.org/licenses/by-nc-nd/4.0/>)



<http://dx.doi.org/10.22108/gep.2022.130271.1453>



[20.1001.1.20085362.1401.33.2.4.4](https://doi.org/10.22108/gep.2022.130271.1453)



مقدمه

مقابله با مخاطرات محیطی همچون سیل، زمین‌لرزه، آتش‌سوزی، خشکسالی، طوفان و ریزگردهای بیابانی و آلودگی هوا، یکی از چالش‌های اصلی برای جهان امروز است که مرگ‌ومیر و درد و رنج عاطفی بشر را در پی دارد و به اقتصاد محلی نیز آسیب‌هایی وارد می‌کند (Cutter et al., 2008: 601). در بسیاری مواقع انسان توانسته است تهدیدهای طبیعی را به کمترین میزان کاهش دهد؛ اما واقعیت انکارناپذیر این است که بعضی بحران‌های محیط‌زیستی ناگهانی قدرت تخریب زیادی دارند و امکان پیش‌بینی را نیز سلب کرده‌اند (فرجی و همکاران، ۱۳۹۷: ۲۷). در این زمینه آنچه بیش از هر چیزی مهم جلوه می‌کند، قدرت تطبیق‌پذیری و احیای سیستم‌های شهری و منطقه‌ای و بازگشت به حالت عادی پس از وقوع سانحه است که ایده تاب‌آوری را پیشنهاد می‌دهد (بذرافشان و همکاران، ۱۳۹۷: ۱۱۸).

تاب‌آوری به معنای توانایی یک منطقه در برابر مخاطرات محیطی، پاسخگویی به شرایط بحرانی و تطبیق‌پذیری با آن و بازگشت سریع و آسان به شرایط پیش از وقوع مخاطره است (Borsekova et al., 2018: 382). تاب‌آوری شهری نیز قدرت انطباق‌پذیری با شرایط بحرانی ناشی از مخاطرات محیطی و برگشت به حالت اولیه پس از مخاطره است (Ran et al., 2019: 4). شرایط محیطی هر منطقه و شهر در وقوع مخاطرات محیطی و میزان اثرگذاری مخاطره بر سیستم شهری تأثیرگذار است. موقعیت جغرافیایی مکان شهری و معیارهای اقتصادی، اجتماعی، امکانات شهری و زیرساخت‌های بنیادی نقش مهمی در درجه تاب‌آوری سیستم شهری در برابر مخاطره دارند (Wills and Hofmeyr, 2019: 192)؛ به گونه‌ای که شیب اراضی، توپوگرافی، نزدیکی و دوری از مسیل، فاصله از گسل، نزدیکی به مراکز وقوع طوفان‌های گردوغباری، نوع کاربری اراضی و فاصله از مراکز انتشار آلودگی، از پارامترهای مهم در درجه تاب‌آوری شهری در برابر مخاطرات محیطی است. مؤلفه‌های اجتماعی نیز همچون میزان جمعیت، جمعیت جوان، میزان سواد و تحصیلات افراد، میزان بیکاری و اشتغال، استحکام منازل، فضای سبز شهری، جنگل‌ها و دسترسی به امکانات و زیرساخت‌های شهری در میزان پاسخگویی به تاب‌آوری و برگشت به حالت اولیه پیش از بحران بسیار مهم هستند (Zhang et al., 2019: 196). میزان تاب‌آوری سیستم شهری با بررسی و تحلیل پارامترهایی سنجیده می‌شود که در تاب‌آوری مؤثرند و افزایش تاب‌آوری یک منطقه یا سیستم شهری در برابر بحران مستلزم افزایش درجه مطلوبیت پارامترهای اثرگذار است (Harpin, 2019: 3).

تاب‌آوری را از دهه ۱۹۷۰ هولینگ^۱، اکولوژیست کانادایی، در ارتباط با سیستم‌های اکولوژیکی مطرح کرد. وی معتقد بود تاب‌آوری تداوم روابط و پیوندهای درون یک سیستم را تعیین می‌کند و مقیاسی از توانایی این سیستم برای جذب تغییرات پارامترها و متغیرهای ثابت و متحرک و حفظ بقاست (Govindarajulu, 2020: 3).

تاب‌آوری همچنین ظرفیت یک سیستم برای پاسخگویی به اختلال ایجادشده در آن تعریف می‌شود و سیستم‌های تاب‌آور پس از اعمال تنش و اختلال، ساختار و عملکرد سیستم تغییر نمی‌کنند (پورمحمدی و همکاران، ۱۳۹۸: ۸۰). شهر نیز یک سیستم اکولوژیکی پویا شناخته می‌شود که تاب‌آوری آن بیانگر پاسخگویی به بحران‌ها و ثبات در شرایط

اختلال است (بهرامی و همکاران، ۱۳۹۶: ۴۷). شهری تاب‌آور است که عملکردهای هشتگانه‌ی ارائه‌ی نیازهای اساسی، تأمین و حفاظت از زندگی انسان‌ها، محافظت و نگهداری دارایی شهری، تحصیل روابط انسانی و هویت‌بخشی به آنها، انتشار دانش و آموزش و نوآوری، حمایت از حاکمیت قانون، پشتیبانی از معیشت و تحریک رونق اقتصادی را داشته باشد (خالدی و همکاران، ۱۳۹۸: ۳). ارائه‌ی این عملکردها در سیستم‌های فضایی شهری به ثبات در تصمیم‌گیری و بقای شهری، و بازخورد آن به افزایش تاب‌آوری سیستم شهری منجر می‌شود.

تاب‌آوری ابعادی چندگانه دارد؛ مهم‌ترین آنها ابعاد اجتماعی، اقتصادی، کالبدی و برنامه‌ریزی در نظر گرفته شده است و هر کدام مشتمل بر چندین زیرمعیار هستند که در ارزیابی تاب‌آوری شهرها، از این معیارها و ابعاد استفاده می‌شود (رمضان‌زاده و همکاران، ۱۳۹۳: ۱۱۲).

به‌منظور پاسخگویی و مقابله‌ی سیستم‌های فضایی شهری در برابر بحران‌های ناشی از مخاطرات محیطی، پژوهشگران با استفاده از روش‌های کمی و پرسش‌نامه‌ای، نخست شناسایی و آسیب‌پذیری مناطق مختلف شهری را در برابر این بحران‌ها مدنظر قرار داده و با استفاده از روش‌های وزن‌دهی و تصمیم‌گیری چندمعیاره (MCDM) ظرفیت شهرها را بررسی کرده‌اند.

در کلان‌شهر تهران بررسی‌های میدانی و پرسش‌نامه‌ای برای ارزیابی تاب‌آوری اقتصادی و نهادی محله‌های شهر تهران در برابر زمین‌لرزه انجام و با روش تحلیل سلسله‌مراتبی (AHP) و پرامتی (PROMETHEE)، درجه‌ی اهمیت شاخص‌ها در تاب‌آوری تعیین شد که شاخص میزان خسارت و ظرفیت جبران خسارت بیشترین اهمیت را دارد و محله‌های قیطریه، ستارخان، نارمک و قلعه‌مرغی به ترتیب بیشترین تاب‌آوری اقتصادی و نهادی را در برابر زمین‌لرزه دارند (رضایی، ۱۳۹۲: ۳۳).

در شهر قزوین در معیار کالبد فضایی نسبت تخت بیمارستان به جمعیت، در معیار اجتماعی سرمایه اجتماعی، در معیار اقتصادی مساحت مراکز کسب‌وکار بزرگ مقیاس و در معیار تاب‌آوری نهادی نیز شاخص عملکرد، در وضعیت نامناسب تاب‌آوری قرار دارند (داداش‌پور و عادل، ۱۳۹۴: ۷۵).

تدوین راهبرد مبتنی بر افزایش تاب‌آوری مستلزم شناسایی درجه‌ی تاب‌آوری در برابر بحران است. در محله فیض‌آباد کرمانشاه، میزان تاب‌آوری متوسط است و محله در وضعیت تدافعی قرار دارد که برای تدوین راهبرد نیازمند مشارکت نیروهای اجتماعی برای سامان‌دهی بافت قدیم این محله است (معظمی و رحیمی، ۱۳۹۵: ۲۵).

معیارهای اجتماعی نقش مهمی در سنجش تاب‌آوری و ارائه‌ی راهکارهایی برای افزایش ظرفیت شهری در برابر بحران دارد. در اصفهان تعداد مراکز خدماتی در سطح شهر نقش مهمی در درجه‌ی مطلوبیت تاب‌آوری منطقه سه در برابر بحران دارد. میزان بیکاری، بزهکاری‌های زیاد اجتماعی و رفتارهای نامناسب اجتماعی موجب کاهش میزان تاب‌آوری اجتماعی می‌شود. منطقه شش اصفهان به دلیل میزان زیاد این رفتارهای نامناسب تاب‌آوری کمی دارد (دلاکه و همکاران، ۱۳۹۶: ۲۳۰). پارامترهای مربوط به کاربری اراضی در سطح یک منطقه یا سیستم شهری، از دیگر مؤلفه‌های اثرگذار در تاب‌آوری است؛ به گونه‌ای که تراکم مسکونی در سطح محله و شهر موجب کاهش نفوذپذیری آب در مواقع بارش‌های سنگین می‌شود و سریعاً پدیده سیل اتفاق می‌افتد (Bacud, 2018: 512). تراکم مسکونی موجب کاهش زمان مورد نیاز

برای پاسخگویی در برابر زمین‌لرزه شده و خسارت‌های آن بسیار بیشتر از اراضی پراکنده یا فضاهای باز شهری می‌شود (Davis and Izadkhan, 2006: 12). نوع بستر زمین شهری نیز در تاب‌آوری مؤثر است که در صورت برداشت بی‌رویه آب و جنس نرم و خمیری زیاد سازندها و خاک‌های بستر، فرونشست‌ها و روان‌گرایی اتفاق می‌افتد و زمان برای پاسخگویی و برگشت به حالت اولیه پس از بحران از دست می‌رود (Kabir et al., 2018: 1107).

در سندج درجه تاب‌آوری محله‌های شهری با مدل ANP در برابر مخاطرات محیطی ارزیابی و برای تحلیل تاب‌آوری از پارامترهای نوع کاربری اراضی استفاده شد (بهرامی و همکاران، ۱۳۹۶: ۴۸).

در شهر شنژن (Shenzhen) چین زمین‌لغزش‌های ناشی از بارندگی شدید، خاک‌های شیل‌دار، توپوگرافی پیچیده و بارندگی زیاد به کاهش تاب‌آوری در محله‌های شهری منجر شده است (Zhang et al., 2019: 98).

در بعضی مناطق جغرافیایی، سیستم شهری به دلیل زیرساخت‌های ضعیف یا موقعیت توپولوژیکی، در ابتدای وقوع بحران سریع تضعیف و اختلال در شهر ایجاد می‌شود، اما آثار آن بلندمدت نیست و جبران خسارت و برگشت به حالت اولیه بسیار آسان است. در کشور تایوان عمده مخاطرات محیطی در لحظات ابتدایی به سیستم شهری خسارت می‌زند (Chen et al., 2020: 3)؛ بنابراین برای مقابله با آن و افزایش تاب‌آوری شهری می‌بایست برنامه‌ای طراحی کرد تا خسارت‌هایی که در لحظات ابتدایی اتفاق می‌افتد، به حداقل برسد و توانایی مقابله با آن را در آن لحظه داشت. با این راهکار می‌توان تاب‌آوری شهری را در برابر بحران‌های طبیعی افزایش داد.

در اسپانیا بیشتر شهرها از لحاظ تاب‌آوری وضعیت مطلوبی ندارند و برای رسیدن به تاب‌آوری باید اقداماتی مانند کاهش مصرف منابع، ترویج تجارت محلی، ایجاد فضای مشارکت و تنوع‌بخشی به اقتصاد محلی را افزایش داد (Suarez et al., 2016: 770).

در هر منطقه‌ای از داکای شمالی در بنگلادش، میزان ابعاد تاب‌آوری در مقیاس محله متفاوت است و توجه به زیرساخت‌های شهری و بهبود آن پاسخگوی مقابله با بحران‌های طبیعی نیست و رویکرد مداوم تغییر در برنامه‌ریزی برای مقابله با بحران‌ها ضروری است (Kabir et al., 2018: 1110).

مطالعات مربوط به تاب‌آوری کشور تونگا در برابر سیلاب‌ها و طوفان‌های دریایی ناشی از تغییر اقلیم و گرمایش جهانی بیانگر این است که این کشور شدیداً در برابر بحران‌های طبیعی ناشی از گرمایش جهانی آسیب‌پذیر است (Fakhruddin et al., 2019: 100017).

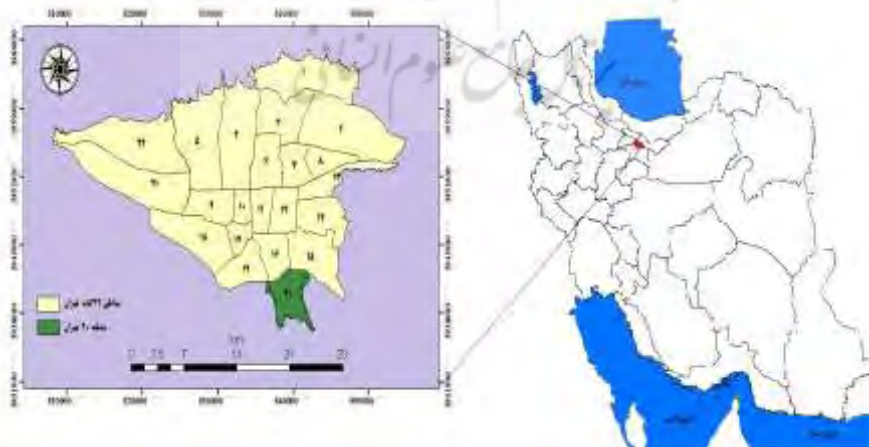
در کلان‌شهر تهران، تاب‌آوری در برابر سیلاب‌های ناشی از سرریز رودخانه‌ها و آب‌های سطحی خیابان در مناطق ۶ و ۲۲ زیاد است، اما منطقه یک کمترین تاب‌آوری را دارد (Moghadas et al., 2019).

کلان‌شهر تهران با جمعیتی بیش از ۸ میلیون نفر، تراکم ۱۲ هزار و ۲۰۰ نفر در هر کیلومتر مربع و مساحت ۷۵۱ کیلومتر مربع، در مکانی بنا شده است که به لحاظ مخاطرات محیطی در معرض وقوع انواع سوانح طبیعی یا به دلیل پیشرفت‌های تکنولوژیکی در معرض سوانح انسان‌ساخت قرار دارد. هنگامی که بلایای طبیعی رخ می‌دهد، تهران با خطرات بیشتری مواجه می‌شود و بیش از هر محیط دیگری نسبت به ناحیه خود خسارت می‌بیند. تهران به دلیل شرایط محیطی، شهری آسیب‌پذیر در برابر مخاطرات محیطی است، اما مناطق ۲۲ گانه آن براساس شرایط کالبدی،

اقتصادی، اجتماعی، زیرساختی و نهادی عملکردهای متفاوتی دارند و درجه تاب‌آوری آنها نیز متفاوت است. نمی‌توان یک برنامه کلی در زمینه مدیریت بحران برای شهر تهران تدوین کرد؛ بلکه بررسی و ارزیابی هریک از مناطق در تاب‌آوری لازم است و باید بر مبنای درجه تاب‌آوری منطقه، راهبرد مبتنی بر مدیریت بحران و افزایش تاب‌آوری آن را تدوین کرد. منطقه ۲۰ شهرداری تهران نیز به دلیل قرارگیری در نزدیکی مخاطرات طبیعی شامل سیلاب، زمین‌لرزه، طوفان گردوغبار، بحران آب، فرونشست و همچنین مخاطرات مصنوعی شامل آلودگی هوا و وقوع بیماری‌های ریوی سرطانی، تصادفات و...، نیازمند مدیریت بحران با رویکرد افزایش تاب‌آوری است؛ اما پیش از آن این رویکرد مستلزم شناسایی و ارزیابی درجه تاب‌آوری محله‌ها در برابر مخاطرات محیطی است تا با شناخت آن، برنامه‌ای جامع در زمینه افزایش تاب‌آوری تدوین شود؛ بنابراین هدف اصلی از مطالعه حاضر، شناسایی و ارزیابی درجه تاب‌آوری محله‌های موجود در منطقه ۲۰ تهران در برابر مخاطرات محیطی است.

روش‌شناسی پژوهش

منطقه ۲۰ تهران (شهر ری)، جنوبی‌ترین منطقه شهرداری تهران است (شکل ۱). جمعیت آن در سال ۱۳۹۰ حدود ۳۴۰ هزار و ۸۶۰ نفر بوده است. مساحت محدوده ملاک عمل شهرداری، ۲ هزار و ۹۷۲ هکتار معادل ۴/۵ درصد مساحت تهران است. منطقه ۲۰، شش ناحیه دارد و تراکم ناخالص جمعیت آن ۱۳۱ نفر در هکتار است. سرانه زمین مسکونی ۱۵/۱ مترمربع و سرانه زیربنای مسکونی ۲۰ مترمربع است. پوشش دسترسی مناسب با توجه به عبور کمربندی تهران (آزادگان) از شمال منطقه و وجود ایستگاه فعال مترو و امکان ارتباط سریع با مرکز تهران و سایر نقاط اصلی آن، از ویژگی‌های مطلوب منطقه به شمار می‌رود. کاربری مسکونی حدود ۱۹ درصد و کاربری کشاورزی حدود ۱۵ درصد از اراضی را به خود اختصاص داده است. شیب اراضی کمتر از ۱۰ درصد است. دامنه ارتفاعی آن بین ۱۰۰۰ تا ۱۱۰۰ متر است. شرکت‌های حمل‌ونقل و ترابری زیادی در این منطقه وجود دارد و همچنین معابر و بزرگراهها حدود ۲۲ درصد از اراضی منطقه را شامل می‌شود (مهندسين مشاور مهران، ۱۳۸۴).



شکل ۱. موقعیت جغرافیایی منطقه ۲۰ تهران (منبع: نویسندگان، ۱۴۰۰)

Fig. 1. Geographical location of District 20 Tehran (Source: Authors, 2022)

تهیه معیارها و زیرمعیارها

در گام اول این مطالعه به منظور تهیه و شناسایی معیارهای اثرگذار در تاب‌آوری، از روش پیمایشی و توزیع پرسش‌نامه بین متخصصان شهری و کارشناسان مخاطرات محیطی استفاده شد. نخست شاخص‌های مهم در تاب‌آوری تهیه شد و در اختیار کارشناسان قرار گرفت (در بهمن‌ماه ۱۳۹۹ پرسش‌نامه‌ها برای کارشناسان ارسال و در فروردین ۱۴۰۰ جمع‌آوری شد). حجم پرسش‌نامه‌ها با فرمول کوکران (۷۹ پرسش‌نامه) به دست آمد. برای پایایی پرسش‌نامه‌ها از ضریب آلفای کرونباخ استفاده شد که مقدار ضریب α ۰/۸۱ به دست آمد. پارامترهای مؤثر در تاب‌آوری شهری که از پرسش‌نامه‌ها به دست آمد، در قالب ۴ معیار و ۲۶ زیرمعیار طبقه‌بندی و به‌مثابه پایگاه اطلاعاتی به شرح زیر در GIS دسته‌بندی شد:

۱. معیار اجتماعی اقتصادی شامل زیرمعیارهای جمعیت، تعداد جمعیت جوان بین ۱۵ تا ۵۰ سال، میزان مشارکت اقتصادی، تعداد جمعیت شاغل، میزان سواد و استحکام منازل مسکونی؛
۲. معیار پوشش اراضی شامل زیرمعیارهای فاصله از مسیرها، مساحت فضای باز شهری، دسترسی به مخازن آب، دسترسی به اماکن اجتماعی، کمربند سبز و جنگلی، فضای سبز شهری، دسترسی به پارک و تفرجگاه و اراضی کشاورزی؛
۳. معیار دسترسی شامل زیرمعیارهای دسترسی به مراکز آموزشی، بهداشتی درمانی، تجاری، اداری، مراکز خدمات‌رسانی، دسترسی به نیروی امنیتی و پلیس، فاصله از کارخانه و دسترسی به جایگاه سوخت؛
۴. معیار زیرساخت‌های جاده‌ای شامل زیرمعیارهای دسترسی به پل عابر پیاده، دسترسی به راه‌آهن، اتوبان و بزرگراه شهری و همچنین دسترسی به ایستگاه اتوبوس شهری.

وزن‌دهی به لایه‌های اطلاعاتی

میزان اثرگذاری و درجه اهمیت هر یک از زیرمعیارها و معیارها در تاب‌آوری منطقه ۲۰ تهران، از طریق تدوین و توزیع پرسش‌نامه با پرسش‌های مربوط به ارزش زیرمعیارها، بین همان متخصصان، به دست آمد (ارسال پرسش‌نامه در اردیبهشت ۱۴۰۰ و جمع‌آوری آن در خردادماه ۱۴۰۰). سپس درجه اهمیت زیرمعیارها در تاب‌آوری که از پرسش‌نامه‌ها به دست آمد، وارد نرم‌افزار Super Decision و با روش تصمیم‌گیری چندمعیاره، مدل تحلیل شبکه (ANP)، وزن نهایی هر زیرمعیار محاسبه شد. فرایند تحلیل شبکه‌ای (ANP) را می‌توان متشکل از دو قسمت دانست: سلسله‌مراتب کنترلی و ارتباط شبکه‌ای. سلسله‌مراتب کنترلی ارتباط بین هدف، معیارها و زیرمعیارها را شامل می‌شود و بر ارتباط درونی سیستم تأثیرگذار است و ارتباط شبکه‌ای وابستگی بین عناصر و خوشه‌ها را شامل می‌شود (Asadzadeh et al., 2015: 509). فرایند تحلیل شبکه‌ای (ANP) را می‌توان در چهار مرحله خلاصه کرد:

- ۱- ساخت مدل و تبدیل موضوع به یک ساختار شبکه‌ای: در این مرحله موضوع مدنظر به یک ساختار شبکه‌ای تبدیل می‌شود که در آن گره‌ها به‌مثابه خوشه‌ها مطرح هستند. عناصر درون یک خوشه ممکن است با یک یا تمامی عناصر خوشه‌های دیگر ارتباط داشته باشند.

۲- تشکیل ماتریس مقایسه دودویی و تعیین بُردارهای اولویت: عناصر تصمیم در هریک از خوشه‌ها، براساس میزان اهمیت آنها در ارتباط با معیارهای کنترلی دوه‌دو مقایسه می‌شوند. خوشه‌ها نیز براساس نقش و تأثیر آنها در دستیابی به هدف، دوه‌دو مقایسه می‌شوند. اثر هر عنصر روی عنصر دیگر از طریق بُردار ویژه ارائه می‌شود. اهمیت نسبی عناصر براساس مقیاس نُه‌کمیتی ساعتی سنجیده می‌شود.

۳- تشکیل سوپرماتریس و تبدیل آن به سوپرماتریس حد: برای دستیابی به اولویت‌های کلی در یک سیستم با اثرهای متقابل، بُردارهای اولویت داخلی در ستون‌های مناسب یک ماتریس وارد می‌شوند؛ در نتیجه یک سوپرماتریس (درواقع یک ماتریس تقسیم‌بندی‌شده) به دست می‌آید که هر بخش از این ماتریس ارتباط بین دو خوشه در یک سیستم را نشان می‌دهد. این نوع ماتریس را «سوپرماتریس اولیه» می‌نامند. با جایگزینی بُردار اولویت‌های داخلی (ضرایب اهمیت) عناصر و خوشه‌ها در سوپرماتریس اولیه، سوپرماتریس ناموزون به دست می‌آید. در مرحله بعد، سوپرماتریس موزون با ضرب مقادیر سوپرماتریس ناموزون در ماتریس خوشه‌ای محاسبه می‌شود. سپس با نرمالیزه کردن سوپرماتریس موزون، سوپرماتریس از نظر ستونی به حالت تصادفی تبدیل می‌شود. در گام بعد، سوپرماتریس حد با به توان رساندن تمامی عناصر سوپرماتریس موزون تا زمانی محاسبه می‌شود که واگرایی حاصل شود (با تکرار) یا به بیان دیگر تمامی عناصر سوپرماتریس همانند هم شوند.

۴- انتخاب گزینه برتر: اگر سوپرماتریس تشکیل شده در مرحله سوم، کل شبکه را در نظر گرفته باشد، یعنی گزینه‌ها نیز در سوپرماتریس لحاظ شده باشند، اولویت کلی گزینه‌ها از ستون مربوط به گزینه‌ها در سوپرماتریس حد نرمالیزه‌شده به دست می‌آید. اگر سوپرماتریس فقط بخشی از شبکه را شامل شود که وابستگی متقابل دارند و گزینه‌ها در سوپرماتریس در نظر گرفته نشوند، محاسبات بعدی لازم است صورت بگیرد تا اولویت کلی گزینه‌ها به دست آید. گزینه‌ای که بیشترین اولویت کلی را داشته باشد، به مثابه برترین گزینه برای موضوع مدنظر انتخاب می‌شود؛ بنابراین نتایج پرسش‌نامه وارد تحلیل شبکه شد و با استفاده از این تکنیک، وزن نهایی زیرمعیارها به دست آمد که میزان اهمیت آنها در تاب‌آوری منطقه ۲۰ تهران در برابر مخاطرات محیطی است.

عضویت‌دهی فازی زیرمعیارهای پژوهش

اطلاعات مربوط به هر زیرمعیار در منطقه ۲۰ کلان‌شهر تهران از طریق مطالعات کتابخانه‌ای، مشاهدات میدانی، آمارنامه‌ها، سرشماری‌ها و گزارش‌های شهرداری تهران در مقیاس محله‌ای به دست آمد. اطلاعات به نرم‌افزار ArcGIS وارد و برای هر زیرمعیار یک لایه اطلاعاتی تشکیل شد. سپس با توابع Reclassify و فاصله اقلیدسی (Euclidean Distance) برای هر زیرمعیار، یک نقشه رقومی (دیجیتالی) تهیه شد. به منظور ارزش‌گذاری هر زیرمعیار و نقش آنها در میزان تاب‌آوری، از توابع عضویت‌دهی فازی شامل Large, Small, Linear, Gaussian و Near استفاده شد و با اعمال هریک از این توابع روی نقشه‌های هر زیرمعیار، نقشه درجه عضویت فازی برای هر زیرمعیار در میزان تاب‌آوری به دست آمد (جدول ۱). در گام نهایی، نقشه فازی برای هر زیرمعیار در وزن به دست آمده خود از تحلیل شبکه ضرب شد و نقشه نهایی برای هر زیرمعیار به دست آمد که بیانگر میزان تاب‌آوری محله‌ها در منطقه ۲۰ تهران از لحاظ زیرمعیار مرتبط است.

جدول ۱. عضویت‌دهی فازی زیرمعیارهای پژوهش در تاب‌آوری محله‌های منطقه ۲۰ تهران در برابر مخاطرات محیطی

Table 1. Fuzzy membership of sub-criteria in resilience of District 20 of Tehran against environmental hazards

معیار	زیرمعیار	مقیاس	تابع عضویت فازی	ارزش زیرمعیارها		
				نامناسب	متوسط	مناسب
معیار اجتماعی - اقتصادی	جمعیت کل	محله‌ای	Large	کمتر از ۲۰ هزار نفر	۲۰ تا ۳۰ هزار نفر	بیش از ۳۰ هزار نفر
	جمعیت جوان	محله‌ای	Large	کمتر از ۱۰ هزار نفر	۱۰ تا ۲۰ هزار نفر	بیش از ۲۰ هزار نفر
	میزان مشارکت اقتصادی	درصد	Large	۳۵/۶ تا ۳۶/۹	۳۶/۹ تا ۳۸/۲	۳۸/۲ تا ۳۹/۵
	جمعیت شاغل	محله‌ای	Large	کمتر از ۵ هزار نفر	۵ تا ۱۰ هزار نفر	بیش از ۱۰ هزار نفر
	میزان سواد	درصد	Large	کمتر از ۸۰ درصد	۸۰ تا ۸۵ درصد	بیش از ۸۵ درصد
	استحکام منازل	منازل مسکونی	Large	کمتر از ۳ هزار واحد مسکونی	بین ۳ تا ۵ هزار واحد مسکونی	بیش از ۵ هزار واحد مسکونی
پوشش اراضی	فاصله از مسیر	کیلومتر	Small	کمتر از ۱ کیلومتر	بین ۱ تا ۳ کیلومتر	بیش از ۳ کیلومتر
	فاصله از فضای باز شهری	متر	Small	بیش از ۵۰۰ متر	بین ۲۰۰ تا ۵۰۰ متر	کمتر از ۲۰۰ متر
	دسترسی به مخازن آب شرب	کیلومتر	Small	بیش از ۲ کیلومتر	بین ۱ تا ۲ کیلومتر	کمتر از ۱ کیلومتر
	دسترسی به اماکن اجتماعی	کیلومتر	Small	بیش از ۲ کیلومتر	بین ۱ تا ۲ کیلومتر	کمتر از ۱ کیلومتر
	کمربند سبز	کیلومتر	Small	بیش از ۱/۵ کیلومتر	بین ۱ تا ۱/۵ کیلومتر	کمتر از ۱/۵ کیلومتر
	فضای سبز شهری	کیلومتر	Small	بیش از ۲ کیلومتر	بین ۱ تا ۲ کیلومتر	کمتر از ۱ کیلومتر
	دسترسی به پارک	کیلومتر	Small	بیش از ۱/۵ کیلومتر	بین ۱ تا ۱/۵ کیلومتر	کمتر از ۱/۵ کیلومتر
	اراضی کشاورزی	کیلومتر	Small	بیش از ۲ کیلومتر	بین ۱ تا ۲ کیلومتر	کمتر از ۱ کیلومتر

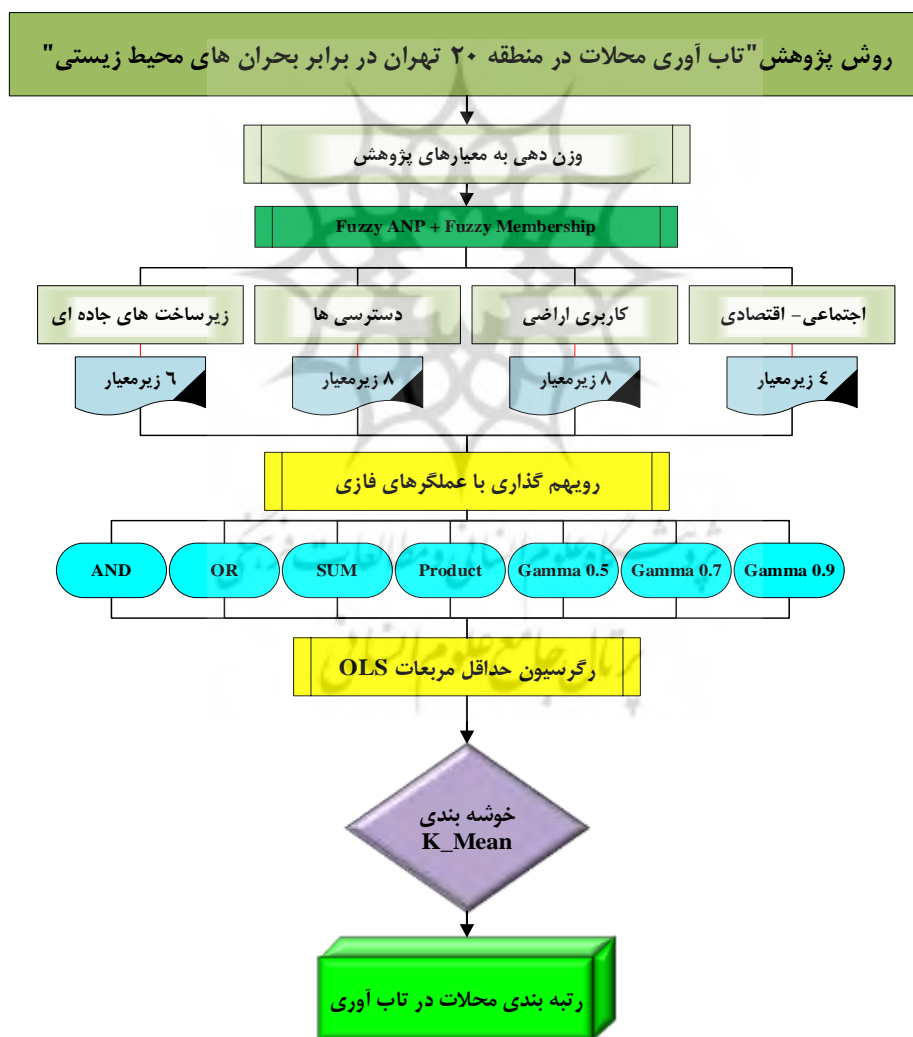
بیش از ۱/۵ کیلومتر	بین ۱ تا ۱/۵ کیلومتر	کمتر از ۱ کیلومتر	Small	کیلومتر	دسترسی به مراکز آموزشی	دسترسی‌ها
بیش از ۱/۵ کیلومتر	بین ۱ تا ۱/۵ کیلومتر	کمتر از ۱ کیلومتر	Small	کیلومتر	دسترسی به مراکز بهداشتی‌درمانی	
بیش از ۲ کیلومتر	بین ۱ تا ۲ کیلومتر	کمتر از ۱ کیلومتر	Gaussian	کیلومتر	دسترسی به مراکز تجاری	
بیش از ۲ کیلومتر	بین ۱ تا ۲ کیلومتر	کمتر از ۱ کیلومتر	Small	کیلومتر	دسترسی به مراکز اداری	
بیش از ۲ کیلومتر	بین ۱ تا ۲ کیلومتر	کمتر از ۱ کیلومتر	Small	کیلومتر	دسترسی به مراکز خدمات‌رسانی	
بیش از ۲ کیلومتر	بین ۱ تا ۲ کیلومتر	کمتر از ۱ کیلومتر	Gaussian	کیلومتر	دسترسی به مراکز پلیس	
کمتر از ۱۰۰۰ متر	بین ۵۰۰ تا ۱۰۰۰ متر	بیش از ۵۰۰ متر	Large	متر	فاصله از کارخانه	
بین صفر تا ۲۰۰ متر؛ بیش از ۲ کیلومتر	بین ۱ تا ۲ کیلومتر	از ۲۰۰ متر تا ۱ کیلومتر	Gaussian	کیلومتر	فاصله از جایگاه سوخت	زیرساخت جاده‌ای
بین صفر تا ۱۰۰۰ متر؛ بیش از ۱۰۰۰ متر	بین ۵۰۰ تا ۱۰۰۰ متر	بین ۱۰۰ تا ۵۰۰ متر	Small	متر	دسترسی به پل عابر پیاده	
بین صفر تا ۲۰۰ متر؛ بیش از ۲ کیلومتر	بین ۱ تا ۲ کیلومتر	از ۲۰۰ متر تا ۱ کیلومتر	Gaussian	کیلومتر	دسترسی به راه‌آهن	
بین صفر تا ۲۰۰ متر؛ بیش از ۲ کیلومتر	بین ۱ تا ۲ کیلومتر	از ۲۰۰ متر تا ۱ کیلومتر	Gaussian	کیلومتر	دسترسی به اتوبان شهری	
بین صفر تا ۲۰۰ متر؛ بیش از ۲ کیلومتر	بین ۱ تا ۲ کیلومتر	از ۲۰۰ متر تا ۱ کیلومتر	Gaussian	کیلومتر	دسترسی به ایستگاه اتوبوس	

روی هم‌گذاری لایه‌های اطلاعاتی

نقشه نهایی هر زیرمعیار با عملگرهای فازی روی هم‌گذاری (Fuzzy Overly) شد. این عملگرها شامل عملگر جمع جبری SUM، اجتماع فازی OR، اشتراک فازی AND، حاصل ضرب جبری فازی Product و گامای فازی است (Mullick et al., 2019: 158)؛ به گونه‌ای که برای هر عملگر روی هم‌گذاری، یک لایه اطلاعاتی از جمع تمام زیرمعیارها و معیارها ایجاد شد و آن لایه، تاب‌آوری منطقه ۲۰ و محله‌های موجود در آن را در برابر مخاطرات محیطی نشان می‌دهد.

رگرسیون حداقل مربعات معمولی (OLS)

برای شناسایی بهترین عملگر فازی در روی هم‌گذاری زیرمعیارهای پژوهش، از تجزیه و تحلیل روابط مکانی و فضایی بین متغیرهای مستقل (۴ معیار اصلی) و متغیر وابسته (نقشه‌های روی هم‌گذاری شده با عملگرهای فازی) از روش رگرسیون حداقل مربعات (OLS) استفاده شد. زیربنای فکری روش حداقل مربعات معمولی این است که ضرایب مدل مقادیری اختیار کنند که مدل رگرسیون نمونه، بیشترین نزدیکی را به مشاهدات داشته باشد؛ به بیان دیگر کمترین انحراف را از مشاهدات فوق نشان دهد. در مدل‌سازی مکانی با روش SLO فرض می‌شود که ضرایب یا پارامترهای مدل آماری نسبت به مکان (مختصات جغرافیایی) ثابت است؛ بنابراین مقدار متغیر وابسته که با این مدل تخمین زده می‌شود، برای کل منطقه مدنظر است و در نقاط مختلف حوزه نیز مقداری یکسان را تخمین می‌زند که ضعف این روش در مدل‌سازی مکانی محسوب می‌شود. در نهایت برای طبقه‌بندی محله‌ها از دیدگاه تاب‌آوری در برابر مخاطرات محیطی، از روش خوشه‌بندی کلاسیک K-mean استفاده شد (Zhang et al., 2020: 491).



شکل ۲. دیاگرام مراحل روش کار در پژوهش حاضر (منبع: نویسندگان، ۱۴۰۰)

Fig. 2. Diagram of the steps of the work method in the present study (Source: Authors, 2022)

یافته‌های پژوهش و تجزیه و تحلیل آنها

وزن معیارها

نتایج حاصل از ارزش‌دهی به معیارهای اصلی پژوهش نشان داد معیارهای اقتصادی-اجتماعی و زیرساخت‌های جاده‌ای به ترتیب با وزن ۰/۴۹ و ۰/۲۳۱، بیشترین اهمیت را در تاب‌آوری منطقه ۲۰ تهران در برابر مخاطرات محیطی دارند. با توجه به اهمیت اشتغال، جمعیت فعال و همچنین استحکام منازل در برابر بحران‌هایی همچون سیلاب، زمین‌لرزه و دیگر مخاطرات محیطی، محله‌هایی که بیشترین میزان اشتغال و مشارکت اقتصادی، جمعیت فعال و همچنین استحکام منازل را دارند، از میزان تاب‌آوری بیشتری نیز در برابر بحران‌های محیطی برخوردارند (جدول ۲).

جدول ۲. وزن نهایی معیارهای پژوهش در تاب‌آوری محله‌های منطقه ۲۰ تهران در برابر مخاطرات محیطی

Table 2. The weight of research criteria in resilience of District 20 of Tehran against environmental hazards

وزن نهایی هر معیار	معیار
۰/۴۹۰	اقتصادی-اجتماعی
۰/۱۶۳	کاربری اراضی
۰/۱۱۵	دسترسی‌ها
۰/۲۳۱	زیرساخت‌های جاده‌ای

- معیار اقتصادی-اجتماعی

نتایج نشان داد زیرمعیار استحکام منازل مسکونی بیشترین وزن و اهمیت را در تاب‌آوری محله‌های منطقه ۲۰ تهران در برابر مخاطرات محیطی به خود اختصاص داده است. محله‌هایی که استحکام منازل مسکونی آنها زیاد است و از مصالح بتنی فلزی ساخته شده‌اند، تاب‌آوری بیشتری نسبت به منازل با استحکام کم دارند. میزان مشارکت اقتصادی در رتبه دوم اهمیت قرار دارد و در آن میزان زیاد مشارکت در فعالیت‌های اقتصادی باعث افزایش تاب‌آوری آن محله در برابر بحران می‌شود؛ اما در محله‌هایی که مشارکت اقتصادی آنها کم است، میزان بیکاری افزایش می‌یابد و به افزایش بزهکاری‌های اجتماعی و در نهایت تاب‌آوری کمتر در برابر بحران منجر می‌شود. میزان جمعیت شاغل هم در رتبه سوم قرار دارد و نشان می‌دهد که افزایش میزان جمعیت شاغلی که در یکی از حرفه‌های شغلی فعالیت دارند، به افزایش تاب‌آوری در برابر بحران منجر می‌شود؛ اما در محله‌هایی که تعداد جمعیت شاغل کم باشد، بیکاری و دیگر بزهکاری‌های اجتماعی افزایش می‌یابد که این شرایط به کاهش تاب‌آوری در برابر بحران می‌انجامد.

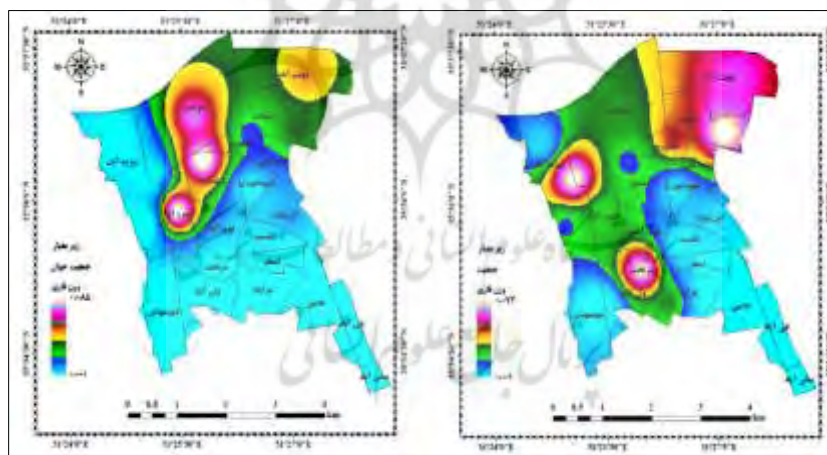
زیرمعیارهای تعداد جمعیت، جمعیت جوان و میزان سواد نیز در رتبه‌های بعدی قرار دارند و این امر بیانگر این است که مناطق پرجمعیت به‌ویژه جمعیت جوان نسبت به مناطق کم‌جمعیت تاب‌آوری بیشتری در برابر بحران دارند (جدول ۳).

جدول ۳. وزن معیار و زیرمعیارهای اجتماعی اقتصادی در تاب‌آوری منطقه ۲۰ تهران (منبع: نویسندگان، ۱۴۰۰)

Table 3. Weight of criteria socio-economic in the resilience of Tehran's 20th district
(Source: Authors, 2022)

وزن معیار	زیرمعیار	وزن معیار	معیار
۰/۱۱۱	جمعیت	۰/۴۹۰	اقتصادی اجتماعی
۰/۰۸۵	تعداد جمعیت جوان		
۰/۲۴۲	میزان مشارکت اقتصادی		
۰/۱۶۲	تعداد جمعیت شاغل		
۰/۰۶۵	میزان سواد		
۰/۳۳۲	استحکام منازل مسکونی		

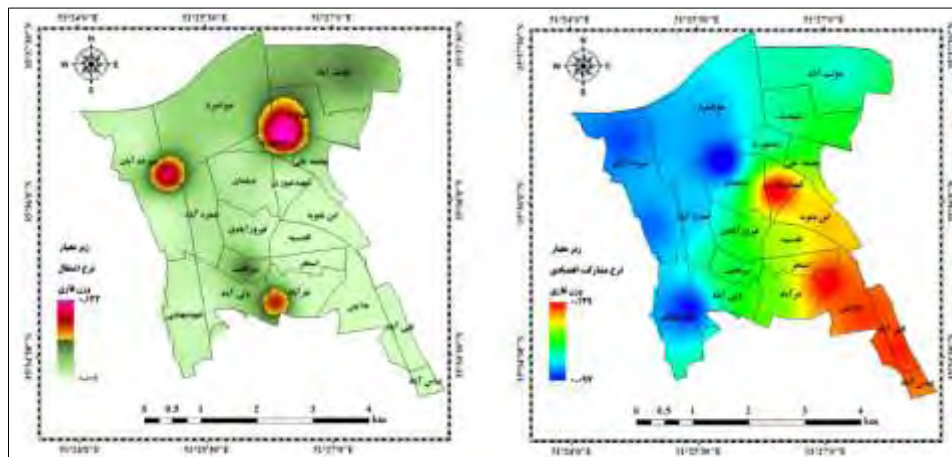
افزایش میزان جمعیت به‌ویژه جمعیت جوان موجب افزایش تاب‌آوری محله در برابر بحران می‌شود. در محله‌های دولت‌آباد، شهادت، سرتخت و همچنین بخش‌هایی از محله ۱۳ آبان جمعیتی بیش از ۳۰ هزار نفر حضور دارند؛ بنابراین این محله‌ها از لحاظ جمعیتی بیشترین تاب‌آوری را در برابر بحران‌های محیطی دارند؛ اما محله‌های جوانمرد، دیلمان و حمزه‌آباد بیش از ۲۰ هزار جمعیت جوان دارند و از لحاظ این زیرمعیار، این محله‌ها بیشترین تاب‌آوری را دارند. محله‌های جنوبی و جنوب شرقی منطقه ۲۰ تهران شامل عباس‌آباد، تقی‌آباد، علایین، نفرآباد، استخر، اقدسیه، ولی‌آباد و شهید بهشتی به دلیل جمعیت کمتر از ۲۰ هزار نفر و جمعیت جوان کمتر از ۱۰ هزار نفر، کمترین تاب‌آوری را در برابر مخاطرات محیطی دارند (شکل ۳).



شکل ۳. پهنه‌بندی زیرمعیارهای جمعیت و جمعیت جوان در تاب‌آوری منطقه ۲۰ تهران (منبع: نویسندگان، ۱۴۰۰)

Fig. 3. Zoning of population and young population sub-criteria in the resilience of District 20 of Tehran (Source: Authors, 2022)

میزان مشارکت اقتصادی در محله‌های غربی منطقه ۲۰ تهران کمتر از ۳۶/۹ درصد است و کمترین تاب‌آوری را در برابر بحران دارند؛ اما محله‌های شرقی و جنوب شرقی با میزان بیش از ۳۸/۲ درصد مشارکت اقتصادی، بیشترین درجه تاب‌آوری را دارند. در بیشتر محله‌ها در منطقه ۲۰ تهران، تعداد جمعیت شاغل (میزان اشتغال) کمتر از ۵ هزار نفر است که نشان می‌دهد تاب‌آوری کمی دارند (شکل ۴).

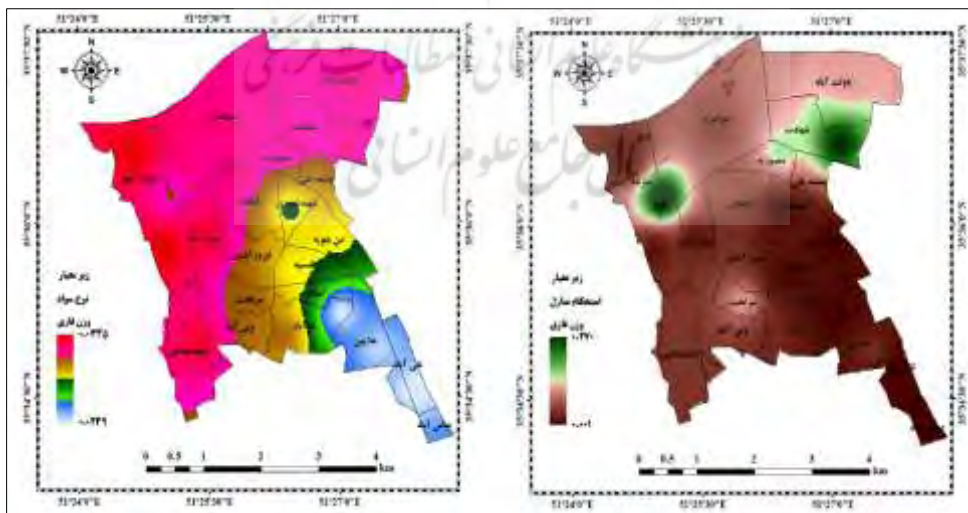


شکل ۴. پهنه‌بندی زیرمعیارهای میزان مشارکت اقتصادی و اشتغال در تاب‌آوری منطقه ۲۰ تهران

(منبع: نویسندگان، ۱۴۰۰)

Fig. 4. Zoning of Economic participation and employment rates sub-criteria in the resilience of District 20 of Tehran (Source: Authors, 2022)

استحکام زیاد منازل بیانگر افزایش میزان تاب‌آوری در برابر بحران است که در بیشتر محله‌های موجود در منطقه ۲۰ تهران، تعداد خانه‌های با استحکام زیاد کمتر از ۳ هزار خانه است، جز در محله‌های سیزده آبان و شهادت که این میزان بیش از ۵ هزار خانه است و تاب‌آوری بیشتری نسبت به دیگر محله‌ها در برابر مخاطرات محیطی دارند. میزان سواد نیز در تاب‌آوری اهمیت دارد و محله‌هایی که بیش از ۸۵ درصد آنها باسواد هستند، از تاب‌آوری بیشتری نیز برخوردارند که این میزان سواد در دولت‌آباد، شهادت، جوانمرد، سیزده آبان، منصوریه، حمزه‌آباد و شهید بهشتی وجود دارد، اما در محله‌های جنوب شرقی در عباس‌آباد، تقی‌آباد و علاییین میزان سواد کمتر از ۸ درصد است و تاب‌آوری کمتری دارند (شکل ۵).



شکل ۵. پهنه‌بندی زیرمعیارهای استحکام منازل و میزان سواد در تاب‌آوری منطقه ۲۰ تهران (منبع: نویسندگان، ۱۴۰۰)

Fig. 5. Zoning of Home strength and literacy rates sub-criteria in the resilience of District 20 of Tehran (Source: Authors, 2022)

معیار پوشش اراضی

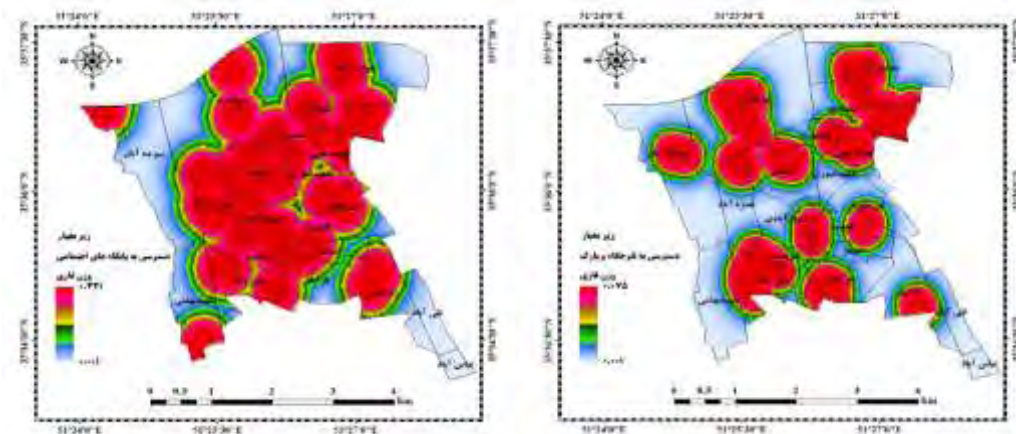
زیرمعیارهای دسترسی به اماکن اجتماعی، مساحت فضای باز شهری، دسترسی به مخازن آب و فاصله از مسیله‌ها به ترتیب بیشترین اهمیت را در تاب‌آوری دارند (جدول ۴). نزدیکی به اماکن اجتماعی همچون مسجد، دانشگاه، اداره‌ها و مؤسسات، میدان‌های شهری و پایگاههای فرهنگی اجتماعی باعث می‌شود تا مشارکت اجتماعی افزایش یابد و در مواقع بحران تصمیمات گروهی گرفته شود و کمک به نیازمندان نیز بیشتر شود. این شرایط باعث می‌شود تاب‌آوری افراد در محله در برابر بحران افزایش یابد. فضاهای باز شهری نیز در مواقع بحران به‌ویژه سیلاب، زمین‌لرزه، طوفان یا زمین‌لغزش به افراد کمک می‌کنند تا در امان باشند؛ بنابراین نزدیکی به این فضاها باعث می‌شود میزان تاب‌آوری افزایش یابد. مخازن آب نیز در مواقع آتش‌سوزی و قطعی آب در دسترس به افراد کمک می‌کند تا آب شرب خود را تأمین کنند؛ بنابراین این مؤلفه نیز نقش مهمی در افزایش تاب‌آوری دارد. مسیله‌ها در مواقع سیلاب به یک عامل خطر تبدیل می‌شوند و اراضی نزدیک به آن تحت تأثیر سیلاب قرار می‌گیرند؛ بنابراین اراضی‌ای که از مسیله فاصله دارند، کمتر در معرض سیلاب هستند و تاب‌آوری آنها نیز افزایش می‌یابد. فضای سبز شهری، دسترسی به پارک و فاصله از اراضی کشاورزی نیز در تاب‌آوری اثرگذار است، اما در بین زیرمعیارهای کاربری اراضی اهمیت کمتری دارند.

جدول ۴. وزن معیار و زیرمعیارهای پوشش اراضی در تاب‌آوری منطقه ۲۰ تهران (منبع: نویسندگان، ۱۴۰۰)

Table 4. Weight of criteria and sub-criteria of land cover in the resilience of Tehran's 20th district (Source: Authors, 2022)

وزن معیار	زیرمعیار	وزن معیار	معیار
۰/۱۰۲	فاصله از مسیله‌ها	۰/۱۶۳	پوشش اراضی
۰/۱۶۷	مساحت فضای باز شهری		
۰/۱۴۳	دسترسی به مخازن آب		
۰/۳۲۱	دسترسی به اماکن اجتماعی		
۰/۰۳۶	کمربند سبز و جنگلی		
۰/۱۱۲	فضای سبز شهری		
۰/۰۷۵	دسترسی به پارک و تفرجگاه		
۰/۰۴۵	اراضی کشاورزی		

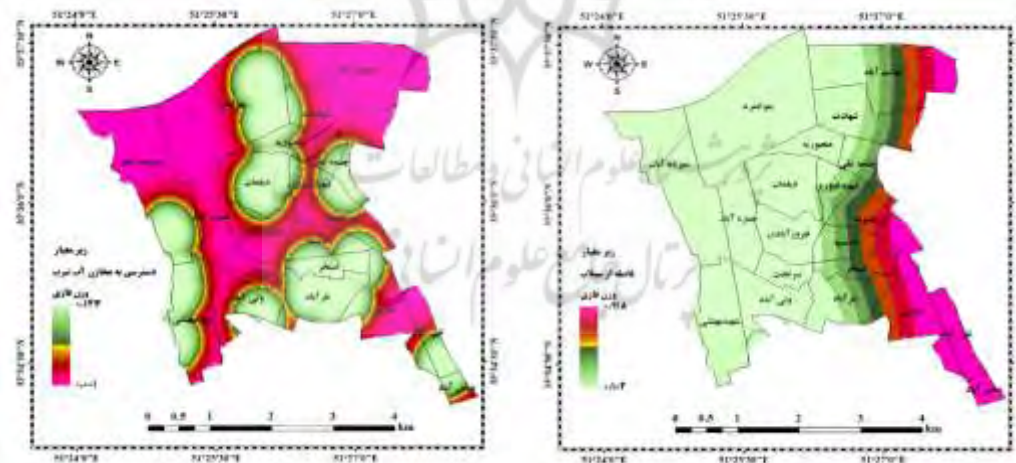
پایگاههای اجتماعی در بیشتر محله‌ها در منطقه ۲۰ تهران وجود دارند و دسترسی به این اماکن در این محله‌ها کمتر از هزار متر است که در مواقع بحران افراد می‌توانند در کمتر از ۳۰ دقیقه خود را به مکان امن اجتماعی برسانند. پارک‌های شهری و تفرجگاهها نیز به صورت پراکنده در منطقه ۲۰ تهران وجود دارند و محله‌هایی که کمتر از هزار متر از این پارک‌ها فاصله دارند، از تاب‌آوری بیشتری برخوردارند، اما محله‌هایی مانند عباس‌آباد و تقی‌آباد بیش از ۱/۵ کیلومتر از پارک‌ها فاصله و تاب‌آوری کمتری در برابر بحران‌ها دارند (شکل ۶).



شکل ۶. پهنه‌بندی زیرمعیارهای دسترسی به پارک و پایگاههای اجتماعی در تاب‌آوری منطقه ۲۰ تهران

Fig. 6. Zoning of Access to parks and social sites sub-criteria in the resilience of District 20 of Tehran

مخازن آب شرب به صورت پراکنده در منطقه ۲۰ تهران وجود دارند و محله‌هایی که کمتر از هزار متر از آن فاصله دارند، بیشترین تاب‌آوری (استخر، نفرآباد، ولی‌آباد، شهید بهشتی، عباس‌آباد، تقی‌آباد، دیلمان، چشمه‌علی و منصوریه) و محله‌هایی که بیش از ۲ کیلومتر از مخازن آب فاصله دارند، کمترین تاب‌آوری را در برابر بحران دارند (دولت‌آباد، سیزده‌آبان، حمزه‌آباد، سرتخت). یک آبراهه از سمت غربی منطقه ۲۰ تهران عبور می‌کند و محله‌های نزدیک به آن (فاصله کمتر از یک کیلومتر) کمترین درجه تاب‌آوری را در برابر بحران به‌ویژه سیلاب دارند، اما محله‌های شرقی منطقه ۲۰ تهران که از مسیل غربی بیش از ۳ کیلومتر فاصله دارند، بیشترین تاب‌آوری را دارند (شکل ۷).

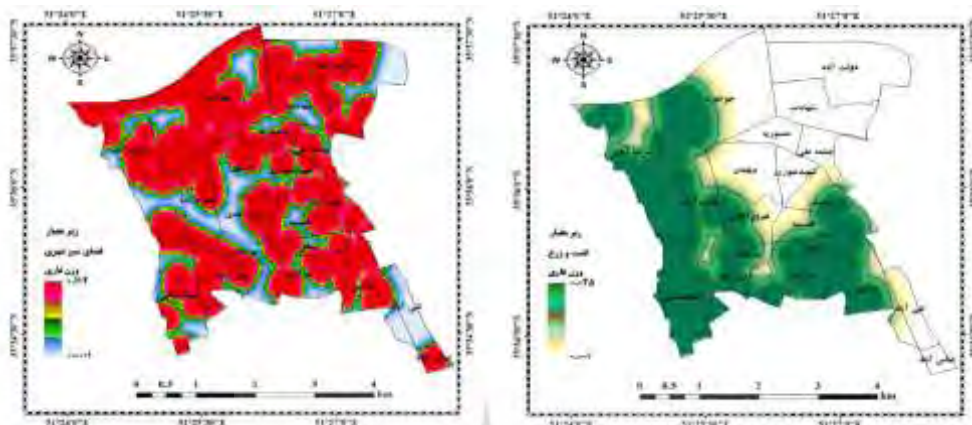


شکل ۷. پهنه‌بندی زیرمعیارهای فاصله از مسیل و دسترسی به مخازن آب در تاب‌آوری منطقه ۲۰ تهران

Fig. 7. Zoning of Distance from the flood and access to water sources sub-criteria in the resilience of District 20 of Tehran

فضاهای سبز شهری به صورت پراکنده در بیشتر محله‌ها وجود دارند. از لحاظ این زیرمعیار به جز محله تقی‌آباد با بیش از ۲ کیلومتر فاصله از فضای سبز، دیگر محله‌ها با کمتر از یک کیلومتر فاصله از فضای سبز، بیشترین تاب‌آوری

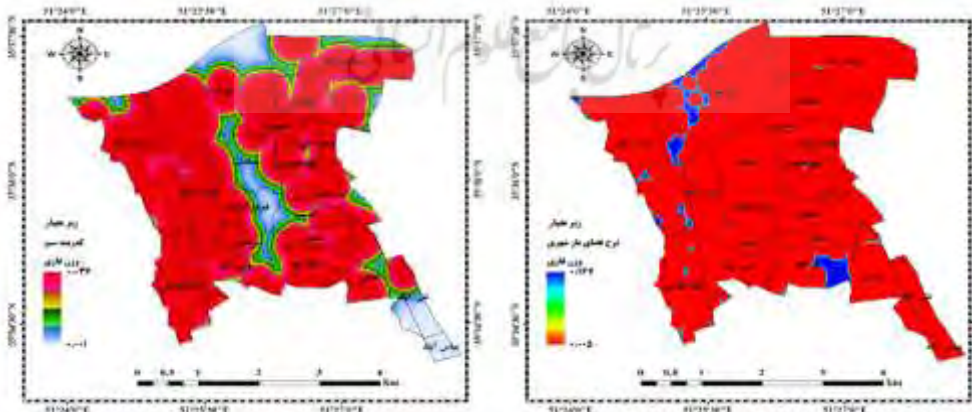
را دارند. اراضی کشاورزی که در زمان وقوع بحران در تأمین غذای مورد نیاز محله‌ها نقش زیادی دارند، در تاب‌آوری محله‌ها نیز تأثیرگذارند. در محله‌های غربی منطقه ۲۰ تهران، اراضی کشاورزی وجود دارند و این محله‌ها با کمتر از یک کیلومتر فاصله از این اراضی، بیشترین میزان تاب‌آوری را دارند، اما محله‌های شمال شرقی منطقه ۲۰ تهران با بیش از دو کیلومتر فاصله از اراضی کشاورزی، تاب‌آوری کمتری دارند (شکل ۸).



شکل ۸. پهنه‌بندی زیرمعیارهای فاصله از اراضی کشاورزی و فضای سبز شهری در تاب‌آوری منطقه ۲۰ تهران

Fig. 8. Zoning of Distance from agricultural lands and urban green space sub-criteria in the resilience of District 20 of Tehran

نزدیکی به کمربندهای سبز که نقش محافظ را در برابر طوفان، سیلاب، آلودگی و زمین‌لغزش‌ها دارند، باعث افزایش تاب‌آوری می‌شود؛ جز محله‌های عباس‌آباد و جنوب تقی‌آباد، دیگر محله‌ها در فاصله کمتر از یک کیلومتر از کمربند سبز قرار داشته و تاب‌آوری زیادی در برابر بحران‌های طبیعی دارند. فضاهای باز شهری نیز در تاب‌آوری مؤثرند، اما در منطقه ۲۰ تهران فضاهای باز بسیار کم هستند و فقط در بخش‌هایی از محله‌های جوانمرد، سیزده آبان و نفرآباد فضاهای باز اندکی وجود دارد که وجود آنها باعث شده است این بخش‌ها تاب‌آوری مناسبی در برابر بحران‌های محیطی داشته باشند (شکل ۹).



شکل ۹. پهنه‌بندی زیرمعیارهای فاصله از کمربند سبز و مساحت فضای باز در تاب‌آوری منطقه ۲۰ تهران

Fig. 9. Zoning of Distance from the green belt and outdoor rates sub-criteria in the resilience of District 20 of Tehran

معیار دسترسی‌ها

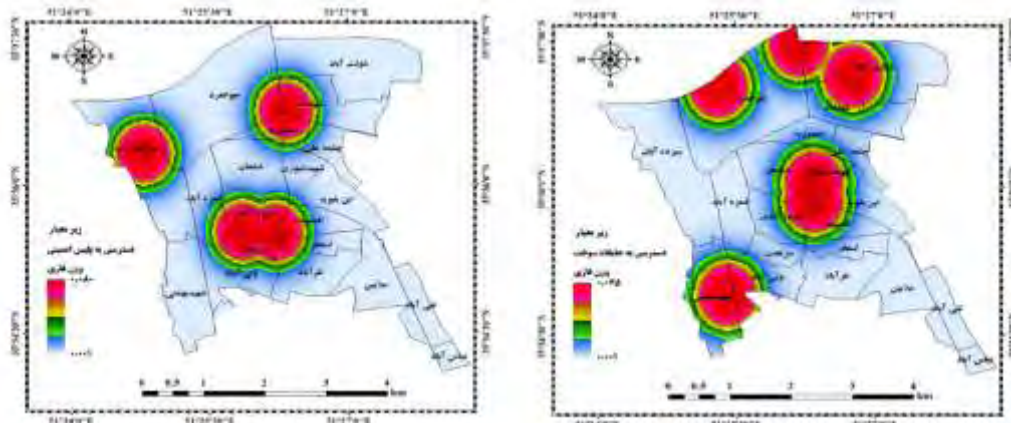
دسترسی به امکانات اجتماعی، خدماتی، آموزشی و امنیتی به افزایش تاب‌آوری در برابر مخاطرات و بحران‌های محیطی منجر می‌شود که از بین این زیرمعیارها، دسترسی به مراکز بهداشتی، خدمات‌رسانی، تجاری و آموزشی به ترتیب بیشترین اهمیت را در تاب‌آوری دارد (جدول ۵)؛ به‌طورکلی در بین زیرمعیارهای دسترسی، جز کارخانه، نزدیکی به دیگر مراکز باعث می‌شود تا محله از تاب‌آوری مطلوبی در برابر بحران‌ها برخوردار باشد؛ اما کارخانه‌ها با توجه به انتشار آلودگی اثر منفی بر محیط محله دارند و خود یکی از عوامل رخداد مخاطره‌اند؛ بنابراین فاصله از کارخانه‌ها به افزایش تاب‌آوری محله منجر می‌شود.

جدول ۵. وزن معیار و زیرمعیارهای دسترسی‌ها در تاب‌آوری منطقه ۲۰ تهران (منبع: نویسندگان، ۱۴۰۰)

Table 5. Standard weight and sub-criteria of accesses in Tehran 20 district resilience (Source: Authors, 2022)

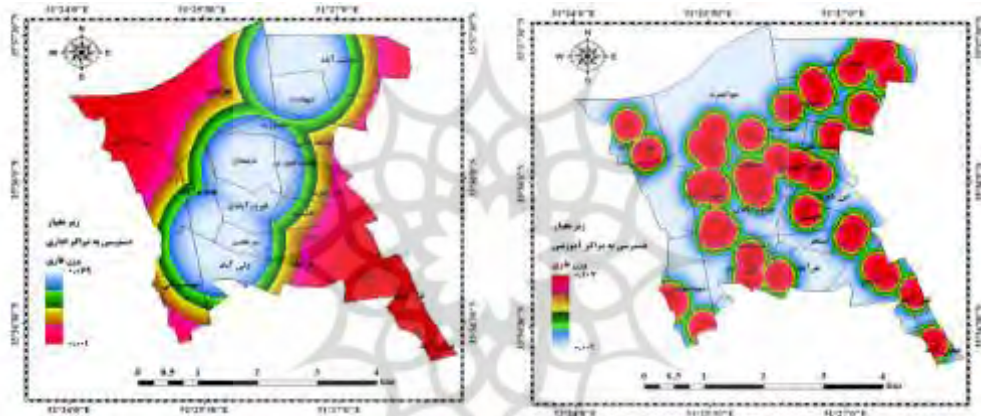
وزن معیار	زیرمعیار	وزن معیار	معیار
۰/۱۰۷	دسترسی به مراکز آموزشی	۰/۱۱۵	دسترسی‌ها
۰/۲۹۲	دسترسی به مراکز بهداشتی‌درمانی		
۰/۱۸۱	دسترسی به مراکز تجاری		
۰/۰۶۹	دسترسی به مراکز اداری		
۰/۱۶۶	دسترسی به مراکز خدمات‌رسانی		
۰/۰۸۰	دسترسی به نیروی امنیتی و پلیس		
۰/۰۴۱	فاصله از کارخانه		
۰/۰۶۱	دسترسی به جایگاه سوخت		

در منطقه ۲۰ تهران به دلیل وجود پاسگاه نیروی انتظامی در محله‌های سیزده آبان، شهادت و فیروزآبادی از محله‌های غربی و مرکزی منطقه، میزان تاب‌آوری آنها بیشتر از سایر محله‌هاست؛ همچنین جایگاه سوخت در ۵ نقطه (محله) از منطقه قرار دارد و دسترسی به این جایگاهها در مواقع بحرانی بر میزان تاب‌آوری آنها می‌افزاید (شکل ۱۰). در منطقه ۲۰ تهران، دسترسی به مراکز اداری و آموزشی به دلیل پراکنده‌بودن این اداره‌ها در سطح منطقه آسان است و فقط در نواحی دور از این مراکز تاب‌آوری کاهش می‌یابد؛ زیرا نزدیکی به این اداره‌ها باعث پناه‌آوردن مردم محله به اداره و افزایش سطح آگاهی افراد درباره بحران می‌شود. با دورشدن از این مراکز، تجمع و اجماع مردمی کاهش خواهد یافت و در نتیجه نحوه مقابله با بحران نیز پراکنده و ضعیف خواهد بود (شکل ۱۱). مراکز خدمات‌رسانی همچون بانک، فروشگاه، کارگاه، تعمیرگاه و بازار در مواقع بحران به مردم محله کمک می‌کنند و تاب‌آوری آنها را افزایش می‌دهند. این مراکز در سطح منطقه ۲۰ تهران پراکنده‌اند و تراکم زیادی دارند (شکل ۱۲). نزدیکی به مراکز بهداشتی‌درمانی بیشترین درجه اهمیت را در بین زیرمعیارهای دسترسی دارد. محله‌های دارای این مراکز بهداشتی و با فاصله کمتر از یک کیلومتر از آنها، بیشترین تاب‌آوری را در برابر بحران‌های محیطی دارند. محله‌هایی مانند عباس‌آباد، تقی‌آباد و شهید بهشتی با فاصله بیش از ۱/۵ کیلومتری از این مراکز، کمترین تاب‌آوری را در برابر بحران دارند (شکل ۱۳).



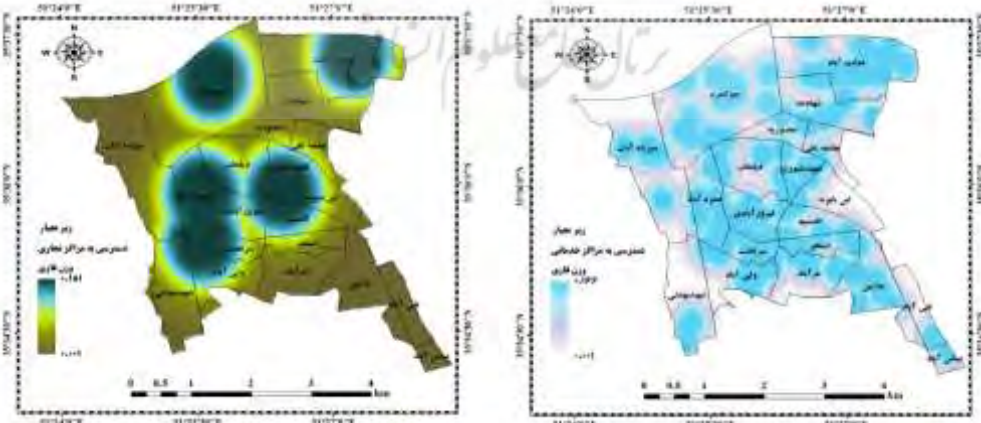
شکل ۱۰. پهنه‌بندی زیرمعیارهای دسترسی به جایگاه سوخت و پلیس امنیتی در تاب‌آوری منطقه ۲۰ تهران

Fig. 10. Zoning of Access to fuel station and security police sub-criteria in the resilience of District 20 of Tehran



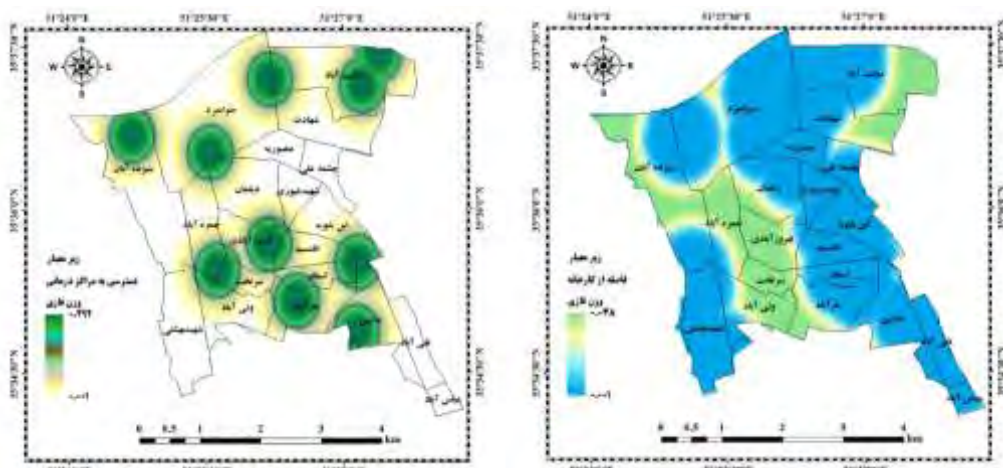
شکل ۱۱. پهنه‌بندی زیرمعیارهای دسترسی به مراکز آموزشی و اداری در تاب‌آوری منطقه ۲۰ تهران

Fig. 11. Zoning of Access to educational and administrative centers sub-criteria in the resilience of District 20 of Tehran



شکل ۱۲. پهنه‌بندی زیرمعیارهای دسترسی به مراکز تجاری و خدماتی در تاب‌آوری منطقه ۲۰ تهران

Fig. 12. Zoning of Access to Commercial and service centers sub-criteria in the resilience of District 20 of Tehran



شکل ۱۳. پهنه‌بندی زیرمعیارهای دسترسی به مراکز درمانی و فاصله از کارخانه در تاب‌آوری منطقه ۲۰ تهران

Fig. 13. Zoning of Access to Medical centers and distance from the factory sub-criteria in the resilience of District 20 of Tehran

معیار زیرساخت‌های جاده‌ای

معیار زیرساخت‌های جاده‌ای پس از معیار اقتصادی اجتماعی با وزن ۰/۲۳۱ در رتبه دوم از اهمیت در تاب‌آوری قرار دارد. مهم‌ترین زیرمعیارهای آن، دسترسی به پل عابر پیاده و ایستگاه اتوبوس شهری است که نقش مهمی در تاب‌آوری دارند. زیرمعیارهای دسترسی به اتوبان و دسترسی به راه‌آهن نیز در رتبه‌های آخر از تاب‌آوری قرار دارند (جدول ۶).

جدول ۶. وزن معیار و زیرمعیارهای زیرساخت‌های جاده‌ای در تاب‌آوری منطقه ۲۰ تهران (منبع: نویسندگان، ۱۴۰۰)

Table 6. Standard weight and sub-criteria of road infrastructure in Tehran 20 district (Source: Authors, 2022)

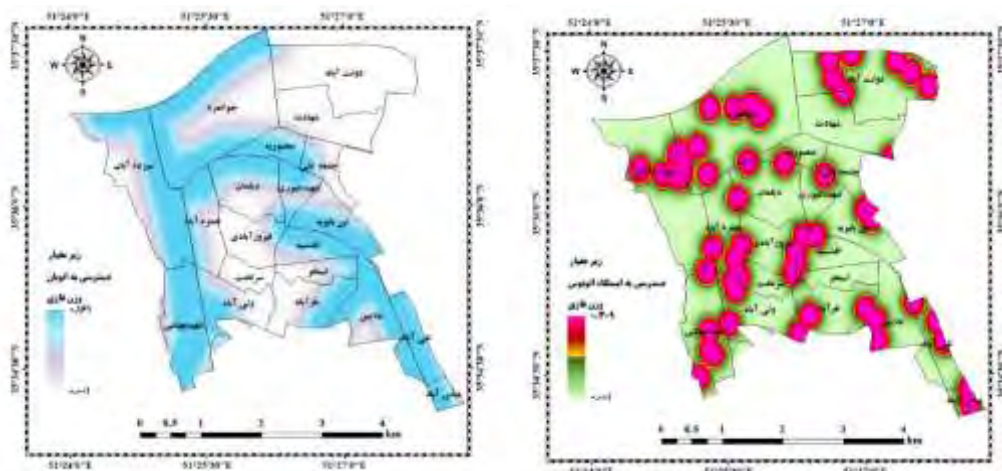
وزن زیرمعیار	زیرمعیار	وزن معیار	معیار
۰/۴۳۵	دسترسی به پل عابر پیاده	۰/۲۳۱	زیرساخت‌های جاده‌ای
۰/۱۶۱	دسترسی به راه‌آهن		
۰/۰۹۳	دسترسی به اتوبان و بزرگراه شهری		
۰/۳۰۹	دسترسی به ایستگاه اتوبوس شهری		

بزرگراه‌های شهری عمده اراضی منطقه ۲۰ را تشکیل می‌دهند و نقش مهمی در تاب‌آوری دارند؛ زیرا در مواقع بحران دسترسی به این جاده‌ها در سرعت پاسخ به بحران نقش مثبتی دارد و در مواقع ضروری در تخلیه محل از افراد بسیار تأثیرگذار است. به جز ناحیه شمال شرقی، دیگر نواحی و محله‌های منطقه ۲۰ به اتوبان و بزرگراه‌های شهری دسترسی کامل دارند.

ایستگاه‌های اتوبوس نیز نقش مهمی در تاب‌آوری دارند و نواحی نزدیک به آن که دسترسی آسانی به ناوگان حمل‌ونقل عمومی و اتوبوسی دارند، از تاب‌آوری بیشتری نسبت به اراضی دور از ایستگاه اتوبوس برخوردارند. خط راه‌آهن تهران از ناحیه غربی منطقه ۲۰ می‌گذرد و محله‌های نزدیک به آن در مواقع بحران از تاب‌آوری بیشتری برخوردارند.

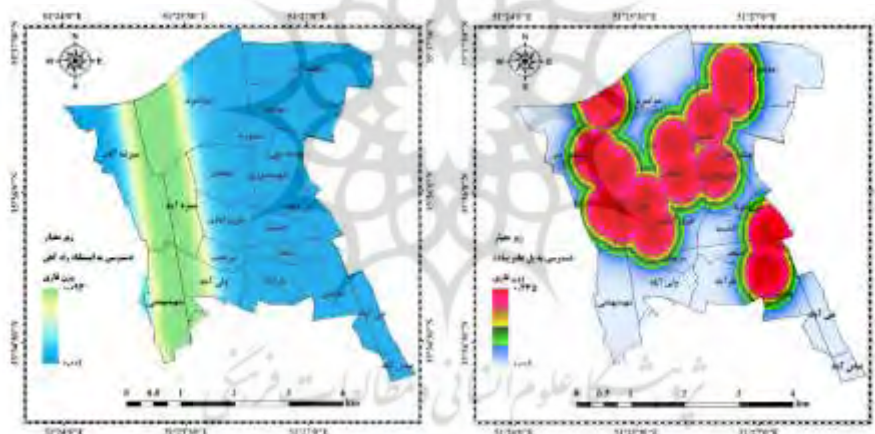
پل‌های عابر پیاده مهم‌ترین پارامتر در تاب‌آوری هستند؛ زیرا این پل‌ها در مواقع طوفان، آتش‌سوزی، سیلاب و زمین‌لرزه نقش حفاظتی و در انتقال افراد به محل ایمن نیز نقش زیادی دارند؛ به‌طورکلی بر مبنای زیرمعیارهای

جاده‌ای، محله‌های واقع در نواحی غربی، مرکزی و جنوب شرقی منطقه ۲۰ تهران، از تاب‌آوری مناسبی در برابر بحران‌های محیطی برخوردارند (شکل‌های ۱۴ و ۱۵).



شکل ۱۴. پهنه‌بندی زیرمعیارهای دسترسی به ایستگاه اتوبوس و اتوبان در تاب‌آوری منطقه ۲۰ تهران

Fig. 14. Zoning of Access to bus and freeway stations sub-criteria in the resilience of District 20 of Tehran



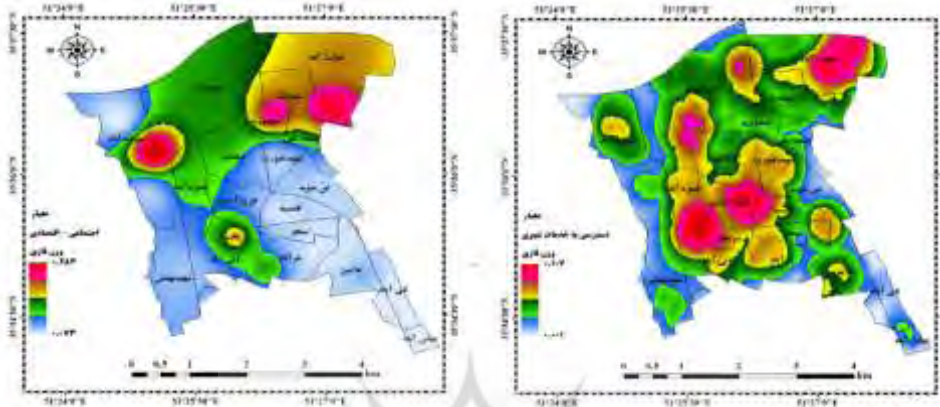
شکل ۱۵. پهنه‌بندی زیرمعیارهای دسترسی به پل عابر پیاده و ایستگاه راه‌آهن در تاب‌آوری منطقه ۲۰ تهران

Fig. 15. Zoning of Access to the pedestrian bridge and railway station sub-criteria in the resilience of District 20 of Tehran

تاب‌آوری از دیدگاه معیارهای اصلی

پس از روی هم‌گذاری زیرمعیارهای هر معیار، یک نقشه پهنه‌بندی برای هر معیار ترسیم شد. در معیار اجتماعی اقتصادی محله‌های دولت‌آباد، شهادت، بخش مرکزی محله سیزده آبان و تا حدودی محله سرتخت به دلیل استحکام زیاد منازل، تعداد زیاد جمعیت و جمعیت جوان، میزان سواد زیاد و همچنین مشارکت زیاد اقتصادی، از تاب‌آوری زیادی در برابر مخاطرات محیطی برخوردارند؛ اما محله‌های واقع در بخش مرکزی، جنوب شرقی و جنوب غربی منطقه ۲۰ تهران به دلیل استحکام کم منازل و همچنین تعداد کم جمعیت جوان، میزان سواد اندک و مشارکت کم اقتصادی، تاب‌آوری کمتری دارند.

از دیدگاه معیار دسترسی (خدمات شهری)، محله‌های دولت‌آباد، فیروزآبادی، سرتخت و جنوب محله حمزه‌آباد به دلیل دسترسی به خدمات آموزشی، اداری، تجاری، بهداشتی، خدمات‌رسانی، جایگاه سوخت و پلیس، از تاب‌آوری بیشتری نسبت به دیگر محله‌ها برخوردارند؛ اما بخش‌هایی از محله‌های عباس‌آباد، تقی‌آباد، شهید بهشتی و جنوب محله سیزده‌آبان به دلیل دوری و فاصله زیاد از مراکز خدمات‌رسانی شهری، تاب‌آوری کمی در برابر مخاطرات محیطی دارند (شکل ۱۶).

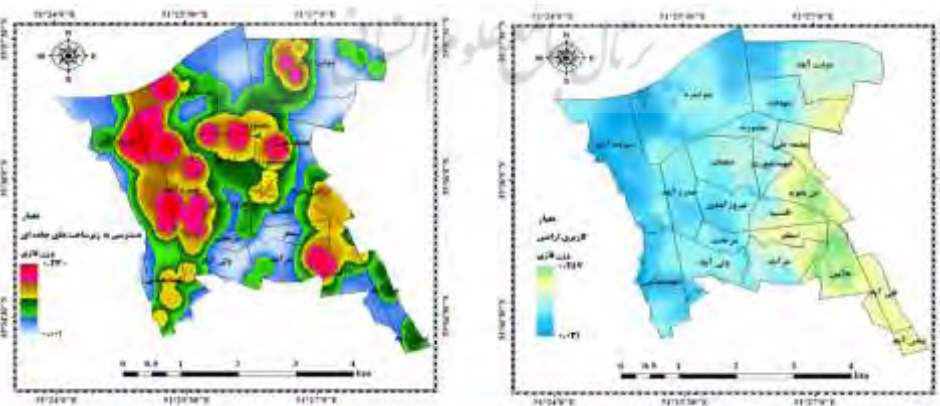


شکل ۱۶. پهنه‌بندی معیار دسترسی به خدمات شهری و معیار اجتماعی اقتصادی در تاب‌آوری منطقه ۲۰ تهران

Fig. 16. Zoning of Criteria for access to urban services and socio-economic criteria in the resilience of District 20 of Tehran

از دیدگاه معیار کاربری اراضی، محله‌های واقع در بخش شرقی و جنوب شرقی منطقه ۲۰ تهران به دلیل فاصله از مسیل، دسترسی به آب شرب، فضای سبز و دسترسی به اماکن اجتماعی نسبت به محله‌های غربی منطقه ۲۰ تهران، از تاب‌آوری بیشتری در برابر مخاطرات محیطی برخوردارند.

از لحاظ معیار دسترسی به زیرساخت‌های جاده‌ای نیز محله‌های منصوریه، حمزه‌آباد، دولت‌آباد، سیزده‌آبان و همچنین علایین به دلیل نزدیکی و دسترسی آسان به زیرساخت‌های جاده‌ای شهر، تاب‌آوری زیادی در برابر بحران دارند (شکل ۱۷).



شکل ۱۷. پهنه‌بندی معیار کاربری اراضی و معیار دسترسی به زیرساخت‌های جاده‌ای در تاب‌آوری منطقه ۲۰ تهران

Fig. 17. Zoning of Land use criteria and access to road infrastructure criteria in the resilience of District 20 of Tehran

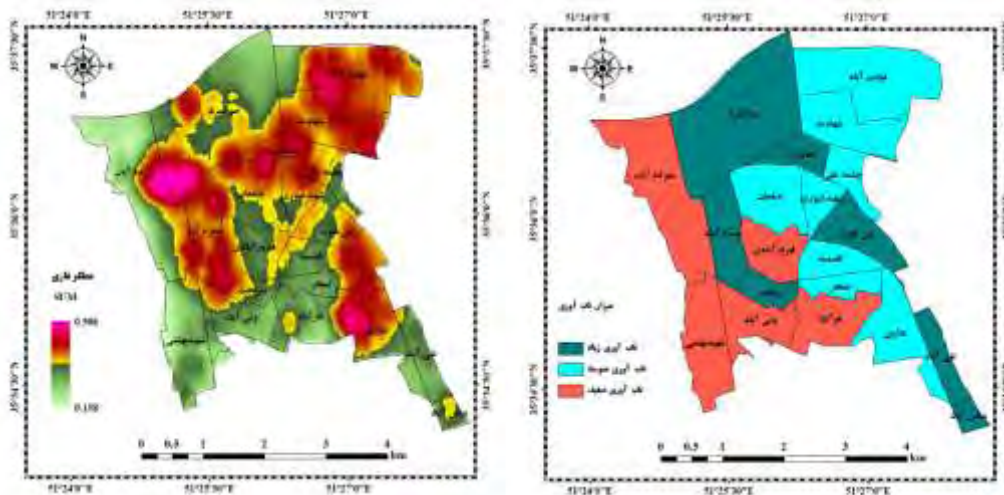
به منظور انتخاب بهترین عملگر فازی برای ارزیابی تاب‌آوری محله‌ها در برابر بحران‌های محیط‌زیستی در منطقه ۵ تهران، از رگرسیون حداقل مربعات (OLS) استفاده شد. نتایج نشان داد در نقشه روی هم‌گذاری شده حاصل از عملگرهای فازی، عملگر جمع جبری SUM بیشترین همبستگی و ارتباط را با معیارهای پژوهش حاضر دارد (جدول ۷)؛ بنابراین نقشه حاصل از روی هم‌گذاری همه معیارها و زیرمعیارهای پژوهش با عملگر فازی SUM، بهترین نقشه است که در آن میزان تاب‌آوری محله‌ها در برابر بحران‌های محیط‌زیستی نشان داده شده است.

جدول ۷. ضریب همبستگی بین عملگرهای روی هم‌گذاری فازی با معیارهای پژوهش (منبع: نویسندگان، ۱۴۰۰)

Table 7. Correlation coefficient between fuzzy overlay operators with research criteria (Source: Authors, 2022)

معیار				عملگر فازی
زیرساخت‌های جاده‌ای	دسترسی‌ها	کاربری اراضی	اجتماعی اقتصادی	
۰/۳۶۴	۰/۳۶۶	۰/۵۸۷	۰/۴۵۸	Gamma 0.9
۰/۰۱۷	۰/۰۱۷	۰/۰۵۵	۰/۰۳۱	Gamma 0.5
۰/۷۶۹	۰/۷۷۹	۰/۶۹۱	۰/۷۱۹	SUM
۰/۰۰۰	۰/۰۰۰	۰/۰۰۱	۰/۰۰۰	Product
-۰/۰۱۰	-۰/۰۴۷	۰/۷۸۶	۰/۱۴۰	AND
۰/۵۲۵	۰/۶۲۸	-۰/۲۸۳	۰/۳۰۶	OR

نقشه نهایی حاصل از روی هم‌گذاری معیارهای مطالعه شده با عملگر فازی SUM که بیشترین همبستگی را با معیارهای پژوهش حاضر داشت، نشان می‌دهد محله‌های واقع در جنوب شرقی، شمال شرقی و همچنین محله‌های مرکزی منطقه ۲۰ تهران، بیشترین تاب‌آوری را در برابر بحران‌های محیطی دارند. در گام نهایی پژوهش حاضر به منظور خوشه‌بندی محله‌های موجود در منطقه ۲۰ تهران بر مبنای میزان تاب‌آوری آنها در برابر بحران‌های محیط‌زیستی، از روش میانگین کلاسیک **K-mean** استفاده شد. نتایج نشان داد محله‌ها در سه خوشه تقسیم‌بندی شدند؛ در خوشه اول که تاب‌آوری زیاد دارد، محله‌های جوانمرد، منصوریه، حمزه‌آباد، سرتخت، ابن‌بابویه و ظهیرآباد، تقی‌آباد و عباس‌آباد قرار دارند. در خوشه دوم که محله‌های دارای تاب‌آوری متوسط هستند، محله‌های دولت‌آباد و شهادت، صادقیه، شهید غیوری، دیلمان، اقدسیه، استخر و علایین قرار دارند. در نهایت محله‌های سیزده آبان، شهید بهشتی، فیروزآبادی، ولی‌آباد و هاشم‌آباد با تاب‌آوری کم و ضعیف در خوشه سوم قرار گرفتند (شکل ۱۸).



شکل ۱۸. روی هم‌گذاری معیارهای پژوهش با عملگر SUM و الگوبندی تاب‌آوری منطقه ۲۰ تهران
(منبع: نویسندگان، ۱۴۰۰)

Fig. 18. Overlapping of research criteria with SUM operator and resilience modeling of Tehran Region 20 (Source: Authors, 2022)

نتایج پژوهش حاضر بیانگر این بود که معیار اجتماعی اقتصادی بیشترین تأثیر را در تاب‌آوری منطقه ۲۰ تهران در برابر مخاطرات محیطی همچون سیلاب، زمین‌لرزه، آتش‌سوزی، طوفان، آلودگی، بحران آب، فرونشست‌ها و زمین‌لغزش دارد. این نتیجه با نتایج پژوهش‌های داداش‌پور و عادل (۱۳۹۴)، عبداللهی و همکاران (۱۳۹۷) و Landry et al. (2020) مطابقت دارد. از بین زیرمعیارهای اجتماعی اقتصادی، مصالح به‌کاررفته در ساخت‌وسازهای شهری و استحکام منازل، بیشترین اهمیت را در تاب‌آوری دارند؛ همان‌گونه که دلاکه و همکاران (۱۳۹۶) در اصفهان نشان دادند، حاشیه‌نشینی و استحکام کم منازل ارتباطی معنادار و معکوس با تاب‌آوری اجتماعی دارد؛ زیرا هرچه میزان حاشیه‌نشینی و ضعیف‌بودن استحکام منازل مسکونی در یک محله بیشتر باشد، واکنش در برابر سوانح و تاب‌آوری آنها کمتر است (Bacud, 2018: 516).

افزایش میزان جمعیت شاغل و مشارکت اقتصادی نقش مهمی در کاهش بیکاری، بزهکاری‌های اجتماعی و در نهایت تاب‌آوری یک محله در برابر بحران دارد؛ اگر در یک محله مشارکت اقتصادی افراد در حرفه‌های متنوع زیاد و میزان درآمد خانوار مناسب باشد، به افزایش استحکام منازل، افزایش میزان تحصیل و سواد و همچنین مشارکت‌های اجتماعی منجر می‌شود (Caschili et al., 2015: 206). این ویژگی‌ها شرایط را برای مقابله با بحران افزایش می‌دهد و نقش مؤثر و مثبتی در افزایش مقاومت و تاب‌آوری محله یا منطقه در برابر بحران دارد.

دسترسی به زیرساخت‌ها و خدمات شهری نیز در تاب‌آوری تأثیرگذار است؛ به گونه‌ای که دسترسی به زیرساخت‌های جاده‌ای، نزدیکی و دسترسی آسان به مراکز درمانی، تجاری، آموزشی و اداری باعث می‌شود تا در مواقع خطر ناشی از مخاطرات محیطی، افراد سریع به این مراکز پناه ببرند یا خدمات‌رسانی به آسیب‌دیدگان افزایش یابد (Parkouhi and Ghadikolaei, 2017: 432). در منطقه ۲۰ تهران نیز محله‌های دارای دسترسی آسان به این

مراکز، بیشترین تاب‌آوری را در برابر مخاطرات محیطی دارند. از میان زیرمعیارهای دسترسی‌ها، دسترسی به مراکز بهداشتی درمانی و همچنین دسترسی به مراکز تجاری و خدمات‌رسانی، بیشترین تأثیر را در تاب‌آوری دارند. مراکز خدماتی در این پژوهش مشتمل بر دسترسی به فروشگاه، تعمیرگاه، بوستان، کتابخانه، استخر، مراکز فرهنگی و... است که با ترکیب آنها، زیرمعیار دسترسی به مراکز خدماتی ایجاد می‌شود و تأثیر زیادی در تاب‌آوری دارند. این نتیجه با نتایج پژوهش ولی زاده و همکاران (۱۳۹۸) مطابقت دارد. دسترسی به جایگاه سوخت نیز از پارامترهای مهم در تاب‌آوری است؛ زیرا دسترسی به این مکان‌ها و جایگاه موجب واکنش سریع در برابر سوانح می‌شود. مراکز آموزشی، درمانی و اداری نیز نقش مهمی در تاب‌آوری دارند؛ زیرا هرچه هر محله‌ای به این مراکز نزدیک و دسترسی آسان باشد، توانایی زیادی در برابر بحران دارند و آسیب‌پذیری آنها کمتر از مناطق دور است.

معیار کاربری اراضی در رتبه سوم تاب‌آوری قرار دارد که از بین زیرمعیارهای آن، دسترسی به اماکن اجتماعی بیشترین تأثیر و اهمیت را در تاب‌آوری دارد.

فاصله از مسیله‌ها نیز مهم است که این نتیجه با نتایج پژوهش خالدی و همکاران (۱۳۹۸) مطابقت دارد. مسیله‌های سیلابی به وقوع پدیده سیلاب در اراضی مجاور خود منجر می‌شود که هرچه محله‌ها از مسیله‌ها دور باشند، توانایی بیشتری در پاسخ به بحران دارند (Zhang et al., 2019).

دسترسی به شبکه جاده‌ای نیز تأثیر زیادی در تاب‌آوری دارد. شبکه جاده‌ای شهری موجب دسترسی آسان به خودرو و فرار از بحران زمین‌لرزه و سیلاب می‌شود (Ran et al., 2019) و این شرایط باعث می‌شود تا دسترسی به جاده یکی از مهم‌ترین پارامترها در تاب‌آوری شناخته شود.

نتیجه‌گیری

تاب‌آوری شهری مستلزم داشتن معیارهای اقتصادی، اجتماعی، خدمات‌رسانی، دسترسی به زیرساخت‌ها و کاربری اراضی مطلوب است تا در شرایط پیچیده وقوع بحران، شهر توانایی مقابله را داشته باشد. در منطقه ۲۰ تهران که مخاطرات محیطی همچون زمین‌لرزه، سیلاب، بحران آب، خشکسالی و دیگر مخاطرات اتفاق می‌افتد، افزایش تاب‌آوری محله‌ها بسیار حائز اهمیت است؛ بر این اساس ارزیابی و شناخت میزان تاب‌آوری محله‌ها در اولویت قرار دارد که مطالعه حاضر در این راستا انجام شده است.

نتیجه نهایی این مطالعه نشان داد محله‌های جوانمرد، منصوریه، حمزه‌آباد، ابن‌بابویه، سرتخت، تقی‌آباد و عباس‌آباد به دلیل داشتن جمعیت مناسب، میزان مشارکت اقتصادی مطلوب، مشارکت اجتماعی مطلوب، دوری از مسیله، دسترسی به زیرساخت‌های جاده‌ای و همچنین نزدیکی به مراکز خدمات‌رسانی، بیشترین تاب‌آوری را در برابر مخاطرات محیطی دارند؛ اما محله‌های سیزده‌آبان، شهید بهشتی، ولی‌آباد، نفرآباد و فیروزآبادی به دلیل دوری از زیرساخت‌های جاده‌ای، مراکز خدمات‌رسانی و نزدیکی به مسیله، کمترین میزان تاب‌آوری را در برابر مخاطرات محیطی دارند.

پیشنهاد می‌شود برای افزایش تاب‌آوری این محله‌ها و همچنین افزایش استحکام منازل اقداماتی شامل افزایش

مراکز خدمات رسانی، پل‌های عابر پیاده، موانع حفاظتی در برابر سیلاب و آلودگی ناشی از کارخانه، میزان مشارکت اقتصادی و نوع کاربری اراضی صورت گیرد تا درجه تاب‌آوری این محله‌ها در برابر مخاطرات محیطی افزایش یابد.

منابع

- بذرافشان، جواد، طولابی نژاد، مهرشاد، طولابی نژاد، میثم، (۱۳۹۷). تحلیل فضایی تفاوت‌های تاب‌آوری در نواحی شهری و روستایی در برابر مخاطرات طبیعی؛ مورد مطالعه: شهرستان پل‌دختر، فصلنامه پژوهش‌های روستایی، دوره ۹، شماره ۱، صص ۱۱۶-۱۳۵.
- بهرامی، سیروان، سرور، رحیم، اسدیان، فریده، (۱۳۹۶). تحلیلی بر وضعیت تاب‌آوری محلات شهر سندج؛ مطالعه موردی: محلات سرتپوله، شالمان و حاجی‌آباد، نشریه مطالعات محیطی هفت حصار، دوره ۶، شماره ۲، صص ۴۵-۶۲.
- پورمحمدی، محمدرضا، هادی، الهام، هادی، الناز، (۱۳۹۸). تبیین ابعاد اجتماعی اقتصادی تاب‌آوری شهری در برابر زلزله؛ مطالعه موردی: منطقه ۴ شهر تبریز، فصلنامه دانش‌پیشگیری و مدیریت بحران، دوره ۹، شماره ۱، صص ۷۸-۸۹.
- خالدی، شهریار، قهرودی تالی، منیژه، فرهمند، قاسم، (۱۳۹۸). سنجش و ارزیابی میزان تاب‌آوری مناطق شهری در برابر سیلاب‌های شهری؛ مطالعه موردی: شهر ارومیه، فصلنامه توسعه پایدار محیط جغرافیایی، سال ۱، شماره ۲، صص ۱-۱۵.
- داداش‌پور، هاشم، عادل، زینب، (۱۳۹۴). سنجش ظرفیت‌های تاب‌آوری در مجموعه شهری قزوین، نشریه مدیریت بحران، دوره ۴، شماره ۸، صص ۷۳-۸۴.
- دلاکه، حسن، ثمره محسن بیگی، حسین، شاه‌یوندی، احمد، (۱۳۹۶). سنجش میزان تاب‌آوری اجتماعی در مناطق شهری اصفهان، نشریه جامعه‌شناسی نهادهای اجتماعی، دوره ۴، شماره ۹، صص ۲۲۷-۲۵۲.
- رضایی، محمدرضا، (۱۳۹۲). ارزیابی تاب‌آوری اقتصادی و نهادی جوامع شهری در برابر سوانح طبیعی؛ مطالعه موردی: زلزله محله‌های شهر تهران، نشریه مدیریت بحران، دوره ۲، شماره ۲، صص ۲۵-۳۶.
- رمضان‌زاده لسبویی، مهدی، بدری، سید علی، (۱۳۹۳). تبیین ساختارهای اجتماعی اقتصادی تاب‌آوری جوامع محلی در برابر بلاای طبیعی با تأکید بر سیلاب؛ مطالعه موردی: حوضه‌های گردشگری چشمه‌کیلۀ تنکابن و سردآبرود کلاردشت، نشریه جغرافیا، دوره ۱۲، شماره ۴۰، صص ۱۰۹-۱۳۱.
- عبداللهی، علی‌اصغر، شرفی، حجت‌الله، صباحی گراغانی، یاسر، (۱۳۹۷). تاب‌آوری نهادی و کالبدی محیطی اجتماعات شهری در جهت کاهش بحران‌های طبیعی، زلزله؛ مطالعه موردی: شهر کرمان، نشریه آمایش محیط، دوره ۱۱، شماره ۴۲، صص ۱۶۵-۱۸۶.

فرجی، امین، آروین، محمود، آتش‌افروز، نسرین، (۱۳۹۷). بررسی تاب‌آوری منطقه‌ای با استفاده از تحلیل فضایی و مدل ترکیبی WASPAS؛ مطالعه موردی: شهرستان‌های استان خوزستان، نشریه آمایش سرزمین، دوره ۱۰، شماره ۱، صص ۱-۲۹.

معظمی، بهاره، رحیمی، محمود، (۱۳۹۵). سنجش و تدوین راهبردهای تاب‌آوری در مقابل بحران در بافت قدیم شهری؛ مورد پژوهش: محله فیض‌آباد کرمانشاه، نشریه جغرافیا و مطالعات محیطی، دوره ۵، شماره ۱۸، صص ۲۳-۳۴.

مهندسین مشاور مهرآزان، (۱۳۸۴). تهیه الگوی توسعه و طرح تفصیلی منطقه و همکاری با شهرداری منطقه ۲۰، موضوع گزارش: الگوی توسعه منطقه ۲۰، مرکز مطالعات و برنامه‌ریزی شهر تهران- وزارت مسکن و شهرسازی- شهرداری تهران.

ولی‌زاده، رضا، امینی، شادی، رجبی، سجاد، (۱۳۹۸). تحلیل فضایی تاب‌آوری منطقه‌ای در برابر بلایای طبیعی؛ مطالعه موردی: استان آذربایجان شرقی، نشریه مطالعات محیطی هفت حصار، شماره ۲۷، صص ۱۷-۲۸.

Asadzadeh, A., Kötter, T., & Zebardast, E., (2015). **An augmented approach for measurement of disaster resilience using connective factor analysis and analytic network process (F'ANP) model**, *International Journal of Disaster Risk Reduction*, 14, 504- 518.

Bacud, S.T., (2018). **Integration of Indigenous and Scientific Knowledge in Disaster Risk Reduction: Resilience Building of a Marginalized Sampaguita Growing Community in the Philippines**, *Procedia engineering*, 212, 511- 518.

Borsekova, K., Nijkamp, P., & Guevara, P., (2018). **Urban resilience patterns after an external shock: An exploratory study**, *International journal of disaster risk reduction*, 31, 381- 392.

Caschili, S., Reggiani, A., & Medda, F., (2015). **Resilience and vulnerability of spatial economic networks**, *Networks and Spatial Economics*, 15 (2), 205- 210.

Chen, C., Xu, L., Zhao, D., Xu, T., & Lei, P., (2020). **A new model for describing the urban resilience considering adaptability, resistance and recovery**, *Safety science*, 128, 104- 756.

Cutter, S.L., Barnes, L., Berry, M., Burton, C., Evans, E., Tate, E., & Webb, J., (2008). **A place-based model for understanding community resilience to natural disasters**, *Global environmental change*, 18 (4), 598- 606.

Davis, I., & Izadkhah, Y.O., (2006). **Building resilient urban communities**, *Open House International*, 31 (1), 11- 21.

Fakhrudin, B.S., Reinen-Hamill, R., & Robertson, R., (2019). **Extent and evaluation of vulnerability for disaster risk reduction of urban Nuku'alofa, Tonga**, *Progress in Disaster Science*, 2, 100017.

Govindarajulu, D., (2020). **Strengthening institutional and financial mechanisms for building urban resilience in India**, *International Journal of Disaster Risk Reduction*, 101549.

Harpin, S.B., (2019). **Adverse childhood experiences and resilience: implications for marginalized and vulnerable young people**, *Journal of Adolescent Health*, 64 (1), 3- 4.

Kabir, M.H., Sato, M., Habbiba, U., & Yousuf, T.B., (2018). **Assessment of Urban Disaster Resilience in Dhaka North City Corporation (DNCC), Bangladesh**, *Procedia engineering*, 212, 1107- 1114.

- Landry, F., Dupras, J., & Messier, C., (2020). **Convergence of urban forest and socio-economic indicators of resilience: A study of environmental inequality in four major cities in eastern Canada**, *Landscape and Urban Planning*, 202, 103856.
- Moghadas, M., Asadzadeh, A., Vafeidis, A., Fekete, A., & Kötter, T., (2019). **A multi-criteria approach for assessing urban flood resilience in Tehran, Iran**, *International journal of disaster risk reduction*, 35, 101069.
- Mullick, M.R.A., Tanim, A.H., & Islam, S.S., (2019). **Coastal vulnerability analysis of Bangladesh coast using fuzzy logic based geospatial techniques**, *Ocean & Coastal Management*, 174, 154-169.
- Parkouhi, S.V., & Ghadikolaei, A.S., (2017). A resilience approach for supplier selection: Using Fuzzy Analytic Network Process and grey VIKOR techniques. *Journal of Cleaner Production*, 161, 431-451.
- Ran, J., MacGillivray, B.H., Gong, Y., & Hales, T.C., (2019). **The application of frameworks for measuring social vulnerability and resilience to geophysical hazards within developing countries: A systematic review and narrative synthesis**, *Science of the total environment*, 134486.
- Suárez, M., Gómez-Baggethun, E., Benayas, J., & Tilbury, D., (2016). **Towards an urban resilience Index: a case study in 50 Spanish cities**, *Sustainability*, 8 (8), 774.
- Wills, G., & Hofmeyr, H., (2019). **Academic resilience in challenging contexts: Evidence from township and rural primary schools in South Africa**, *International Journal of Educational Research*, 98, 192- 205.
- Zhang, W., Su, S., Wang, B., Hong, Q., & Sun, L., (2020). **Local k-NNs pattern in Omni-Direction graph convolution neural network for 3D point clouds**, *Neurocomputing*, 413, 487- 498.
- Zhang, X., Song, J., Peng, J., & Wu, J., (2019). **Landslides-oriented urban disaster resilience assessment—a case study in ShenZhen, China**, *Science of the Total Environment*, 661, 95- 106.



پژوهشگاه علوم انسانی و مطالعات فرهنگی
پرتال جامع علوم انسانی